

고무의 加黃吳熱傳導論(三)

許東燮* · 權東勇**

3 장 基礎熱傳導論 및 그 計算(續)

圖式法

특히 k 가 有限值일 때 完全解는 時間이 所要되기 때 문에 흔히들 圖式法을 使用하여 加熱體內의 溫度變化를 迅速하게 把握하고 있다. 不規則한 形狀을 하고 있는 物體(固體)나 板狀, 棒狀 및 圓柱狀의 物體에 對한 中心部의 热履歷을 圖式으로 求할 수 있는데 이 方法은 加熱時의 各 dimension에 對해 導出된 函數를 多樣化시킨 것이다.

式 (7)에서 $f(x)$ 는 式 (6)의 右邊의 函數인 $X=Dt/l^2$ 을 가리키는 것이고 板狀에 對해 適用되는 것이다. $C(X)$ 는 函數 Dt/R^2 을 나타내는 것으로 여기서 R 은 圓柱의 直徑이며 이 函數는 圓柱狀固體에 適用된다. 反面에 函數 $S(Z)$ 에 있어서는 $Z=x/2\sqrt{Dt}$ 的 關係를 가지는데 semi-infinite solid에 適用되며 여기서 x 는 表面에서 어느 地點까지의 거리를 나타낸다.

Schneider⁹⁾ 는 이러한 類似函數들을 表로 作成하였는 바 그는 12 가지 각각 相異한 固體에 對해 中心部의 溫度를 計算하는 方法을 提示했다. 이런 類型의 表가 Olson 과 Schutz⁹⁾, Ingersoll, Zobel 및 Ingersoll¹⁰⁾ 等에 依해 發刊된 바도 있다. 이러한 表들은 모두가 平板에 對한 式 (6)과 圓柱와 球狀物體에 對한 類似函數에 根據를 두고 作成된 것이다. 이러한 表에 收錄되어 있는 函數를 使用하여 몇 가지 固體에 對한 中心溫度의 热履歷을 圖式的으로 說明할 수 있는데 그 例로는 Fig.7 과 같다.

* 國立工業標準試驗所 有機化學試驗科

** 國立工業標準試驗所 物理試驗科

Fig.7에서 直線의 使用法을 說明하자면 다음 例를 參考로 하여 풀어보면 되겠다. 前號에서 言及한 바 있는 例 4에서 200分 加熱後의 6인치 cube의 中心溫度를 알고자 할 경우 $X=Dt/l^2=0.01 \times 200/3^2=0.222$ 이고 Fig.7에서 $X=0.222$ 에 對해 $Y=0.39$ 이다 이와 같이 T 值는 例 4에서의 計算值가 209.2°F 인데 比하여 211.5°F 가 된다. 따라서 시간에 따른 溫度上昇은 例 4에서의 計算值의 範圍에서 1° 以內가 된다.

이것은 이 그림을 使用하면 計算時間이 複雑 短縮되기 때문에 該當固體의 中心部에 對한 temperature-time 사이의 關係를 迅速히 plot 할 수 있을 뿐더러 大體의 境遇에 있어서는 其他 여러가지 形狀을 하고 있는 物體에 對해서도 近似的으로 適用을 할 수 있는 것이다 또한 圖式法을 사용할 수 있는 경우가 許多하며 이 때는 h 에 對한 確定值가 介在될 경우에 限하고 있다. 이때 使用되는 比率은 다음과 같다.

$$Y = \frac{T_s - T_r}{T_s - T_0} \quad X = \frac{Dt}{R^2}$$

$$m = \frac{k}{hR} \quad n = \frac{r}{R}$$

여기서 使用되는 用語는 通常의 意味를 가지고 使用되는 것이지만 다음의 것에 對해서는例外이다. 即 T_r =中心點이나 面에서부터 r 인 距離에 있는 어떤 點의 溫度

R =球狀 或은 圓柱狀物體의 直徑, 또는 平板의 複雑 두께

r =球狀物體의 幾何學인 中心이나 圓柱狀物體의 軸 또는 平板의 中間面으로 부터의 거리

이들 네가지 無次元의 比率들을 分類함에 不完全溫度變化, 相對時間, 抵投比 및 直徑比로서 각各 區分이 된다.

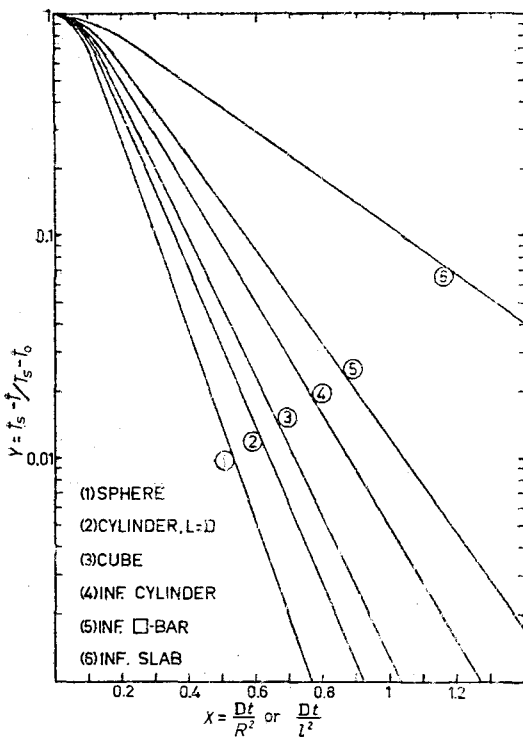


Fig.7. Central temperature history for (1) sphere, (2) a cylinder with length equal to its diameter, (3) a cube, (4) an infinite cylinder, (5) an infinite square rod, and, (6) an infinite slab.

現在까지 나온 圖表 가운데서 가장有名한 것은 Gurney-Lurie¹¹⁾의 것과 Hottel¹²⁾의 것인데 Gurney-Lurie의 것이 가장 일찍 나온 것으로서 이것은 表面과 中心部의 热履歴에만 制限된 것이지만 數年이 지나서부터 附加의 圖表가 出現하여 不定平面, 不定圓柱 및 球狀物體에 對한 表面과 中心部는 勿論이거니와 平面溫度履歴을 나타낼 수 있게 된 것이다.

圖式法에 關한 資料로서는 이以外에도 Schneider⁸, Williamson 과 Adams¹³, Grober¹⁴, Schack¹⁵, Fishenden 과 Sanders¹⁶, Heisler¹⁷, 및 Goldschmidt 과 Partridge¹⁸ 等이 내놓은 것도 多數 있으며 여기서 Heisler 圖表¹⁷⁾는 Gurney-Lurie type 와 類似하지만 X 値가 廣範圍하게 包括되어 있는 것이 特徵이다.

McAdams¹²⁾ 가 Gurney-Lurie 圖表를 補完한 것도 나왔는데 이것은 Chemical Engineers' Handbook 에 收錄되어 있으며 不定平板, 不定圓柱와 球 및 不定固體에 對한 graph도 個別으로 나온 것이다. 離子 모양을 하고 있는 固體와 길이가 짧은 圓柱狀物體에 對한 것은 Newman 法²⁰⁾을 使用하여 不定平板과 不定圓柱에 對한 graph에서 각각 求할 수 있다.

圖表를 使用함에 있어서 m 値가 0, 1, 2 等 일 때 n 은 0, 0.2, 0.4, 0.6, 0.8 等으로 주어지는 各 直線이 있으며, 例를 들자면 Fig.7에서 線(6)은 不定平板일 時에 있어서 $m=0$ (表面抵投은 無視)과 $n=0$ (中平面의 溫度)에 該當하는 것이다.

Temperature-time 間의 plot는 Gurney-Lurie 圖表를 使用하면 아주 迅速하게 作成할 수 있으며 이것에 對한 說明은 다음의 例(参考文獻 11 中의 圖表, 參考文獻 12의 p. 35, 參考文獻 19의 pp. 10~16 等 參照)를 보면 알 수 있다. 即 例 3에 나와 있는 條件(前號參照)下에서 6인치 고무 slab에 對해 考慮해 보기로 하는데 이때 고무의 热傳導率는 $0.12 \text{ BThU} \cdot \text{ft}^{-1} \cdot \text{hr}^{-1} \cdot ^\circ\text{F}^{-1}$ 이고 傳熱係數는 a) 10,000 및 b) $10 \text{ BThU} \cdot \text{ft}^{-2} \cdot \text{hr}^{-1} \cdot ^\circ\text{F}^{-1}$ 이라 假定한다. 그런데 여기서 使用하고 있는 比率은 無次元(dimensionless)이기 때문에 單位가 不一致한다는 데 對해서 關心을 들必要的는 없으며 fps 單位는 比率면에 도 나타나며 여기서 R 値를 inch에서 feet로 變換시켜 주기만 하면 되는 것이다. 加熱時間은 1000分이면 a) $X=0.01 \times 1000/3^2=1.11$

$m=0$. 为 旣知하면 이것은 無視할 수 있는 數值을 가지고 있고 또한 中間平面을 考慮하여 $n=0$ 이기 때문.

$$X=1.11 \text{ 일 때 } Y=0.09=\frac{302-T}{302-281}, \quad T=281^\circ\text{F}$$

이 數值은 表 4에 나와있는 數值와 잘 比較가 되며 보다 큰 圖表를 使用하면 281° 라는 數值이 달라질 것은勿論이지만 그 差單는 고무加黃에 對해서 決定的인 것은 아니다.

b) $X=1.11$ 이고 전과 같이 $n=0$ 일 때 R 을 feet로 變換시키자면 $m=0.12/10 \times 0.083=0.144$. 圖表上의 $m=0.144$ 에 對한 直線을 計算하자면 $X=0.11$ 일 때 $Y=0.16$ 이니 $T=265^\circ\text{F}$

다시 말하자면 두 가지의 热的性質이 주어지면 圖表上에서는 單一線을 使用하고 temperature-time 關係를 追跡하면 容易하게 求할 수 있는 것이다.

數式法

一次元의 热移動을 考慮할 때 세 가지一般的의 境遇가 있다. 即

- (1) Zero time에서 表面溫度를 一定하게 維持할 境遇
- (2) h 値가 旣知일 때의 傳熱과 表面溫度는 計算可能하다.

- (3) 旣知의 表面溫度가 流動의 境遇

完全解는 (1)의 境遇와 (2)의 境遇에 適用되는데 (2)의 境遇에 있어서도 簡單한 것에 對해서만 可能하다. 複雜性을 편 (2)의 境遇와 (3)의 大部分은 解析的으로 풀 수 없으며 이때는 數式法을 使用한다. 이 方法은

1924 年 Schmidt 가 創案한 것으로 热移動에 關한 여러 基本的인 研究, 例題은 G.M. Dusinberre²¹⁾의 Numerical Analysis of Heat Flow 같은데서 볼 수가 있다.

(1)의 境遇에 對한 解析方法은 다음과 같은 例에서 알 수 있는데 既知의 表面溫度가 流動의 일 때 어떻게 適用할 수 있는가 하는 方法을 漸次 理解할 수 있다.

偏微分方程式(3)을 有限 差等式으로 바꾸면 다음과 같이 된다.

$$\frac{\Delta T}{\Delta t} = \frac{D \cdot \Delta T^2}{(\Delta L)^2} \quad (11)$$

Fig.8 은 板狀고무내의 基準點을 說明하기 為한 것이며 表面에서의 距離는 ΔL 單位로 나타내고 있고 이들 點에서의 溫度는 ${}_x T_y$ 形態로 나타내어 지는데 여기서 x 는 時間增加分(單位 : Δt)이고 y 는 距離增加分(單位 : ΔL)이다. 이것은 다음과 같은 關係가 成立된다면, 即

$$\frac{D \cdot \Delta t}{\Delta L^2} = \frac{1}{2} \quad (12)$$

어떤 點, 例로서 ${}_2 T_1$ 에서의 溫度는 다음과 같은 式으로 주어진다.

$${}_2 T_1 = \frac{1}{2} ({}_1 T_s + {}_1 T_2) \quad (13)$$

다시 말하자면 이 式이 算術平均值이고 Fig.8 에서는 화살표로 나타낸 것이다.

〔例題 5〕

두께가 1 인치이고 热擴散度가 $0.0125 \text{ in}^2 \cdot \text{min}^{-1}$ 인 고무 slab 을 4 部分으로 ($\Delta L=0.25$ 인치) 나눌 때에 式 (12)에서 時間增加分 Δt 는 2.5 分이 된다. 이 slab 的 最初溫度가 21°C (70°F)이고 兩表面의 溫度를 同時에 149°C (300°F)로 올린다고 할 경우 Schmidt 表를 찾아 보면 되며 이것은 本章의 表 6에 있는 바와 같다.

Time interval 뒤에 있는 줄의 數值들은 溫度를 나타낸 것이고 反面에 中間部分에 있는 數值들은 合計를 나타낸 것인데, 即 time interval 2 와 3 사이에서 0.25 에서의 428° 는 $300+128$ 에서 나온 합계이고 이것을 2로 나눠주면 interval에서 214° 가 된다.

計算의 正確性을 期하려면 zero time에서의 表面溫度는 zero time에서의 數值과 1 interval 뒤에 있는 數值 사이의 中間을 擇한다. 그 理由는 參考文獻¹²⁾ 中의 p. 45 를 보면 잘 알 수 있다. 만약 이러한 方法을 擇할 수 없다면 計算值에 誤差가 多少 있게 되며 表面抵抗을 無視할 수 있다면 두번째 time interval 만을 바꿔서 하면 된다. 그렇다고 하더라도 얻어진 結果는 첫번째 time interval 뒤에 있는 正確한 數值上下에서 왔다 갔다 한다. 溫度에 對한 端數值는 사용할 수 없으며 簡單한規則이 適用되고 있다.

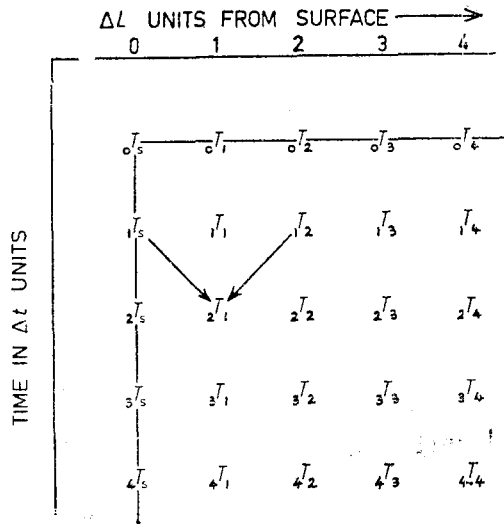


Fig.8. Reference points for one-dimensional numerical method.

表 6 例題 5에 對한 Schmidt table($M=2$ 일 경우)
表面에서의 距離/(0.5=中央面)

Interval	時間 (分)	表面 I	0.25	0.5	0.75	表面 II
0	0	185	70	70	70	185
			255	140	255	
1	2.5	300	128	70	128	300
			370	256	370	
2	5	300	185	128	185	300
			428	370	428	
3	7.5	300	214	185	214	300
			485	428	485	
4	10	300	242	214	242	300
			514	484	514	
5	12.5	300	257	242	257	300
			542	514	542	
6	15	300	271	257	271	300
			557	542	557	
7	17.5	300	278	271	278	300
			571	556	571	
8	20	300	286	278	286	300

奇數를 2로 나눌 경우 小數點 單位인 0.5 를 찰라 버리든지 1로 올려주게 되면 誤差가 크지게 되며 이것은 4의 最少倍數로 만들어 주면 출일 수 있다. 即 $1/2=0$, $3/2=2$, $5/2=2$, $7/2=4$, $9/2=4$ 등으로 하여 각 group을 2로 나눈 것을 20개로 한다.

또 다른 方法으로서는 式 (12)의 오른쪽을 $1/3$, $1/4$ 等으로 하여 使用하기도 한다.

다시 말하자면 $M=2$ 로 하는 代身 $M=3, 4$ 等으로 取하는 것이다. 이러한 경우에 있어서의 解는 다음과 같은 式으로 된다.

$$2T_1 = \frac{1}{3}(T_1 + 2(T_1 + T_2)) \quad (14)$$

$$2T_1 = \frac{1}{4}(T_1 + 2(T_1 + T_2)) \quad (15)$$

$M=3$ 일 경우 $\frac{1}{2}=0$, $\frac{2}{3}=1$ 과 같이 整數로 簡單하게 되기 때문에 나누기하는 과정에서 큰 誤差가 생길 수는 없다. $M=4$ 인 경우 $\frac{1}{4}=0$, $\frac{3}{4}=1$ 로 되며 $M=2$ 일 때와 같이 반으로 나누는데 대해同一한規則이 適用되어야 한다.

$M=4$ 를 使用할 경우를 例로 들자면 例題5에 對한結果는 表7에 있는 바와 같으며 時間增加分은 1.25分이 된다.

式(15)의 原理를 適用시켜 보건데 세째 및 네째 time interval 사이에 있는 中心에서는 $167+2(113)+167=560$ 이 되고 이것을 4로 나누면 네째번 time interval에서의 數值인 140이 된다. 여기서 알 수 있는 것은 D , Δt 및 ΔL 的 諸數值를 變化시키는 것만으로 使用可

表7 例題5에 對한 Schmidt table($M=4$ 일 경우)

區分	時間(分)	表面 I	0.25	0.5	0.75	表面 II
0	0	185	70	70	70	185
			395	280	395	
1	1.25	300	99	70	99	300
			568	338	568	
2	2.5	300	142	84	142	300
			668	452	668	
3	3.75	300	167	113	167	300
			747	560	747	
4	5	300	187	140	187	300
			814	654	814	
5	6.25	300	204	164	204	300
			872	736	872	
6	7.5	300	218	184	218	300
			920	804	920	
7	8.75	300	230	201	230	300
			961	862	961	
8	10	300	240	216	240	300
			996	912	996	
9	11.25	300	249	228	249	300
			1026	954	1026	
10	12.5	300	256	238	256	300
			1050	988	1050	
11	13.75	300	262	247	262	300
			1071	1018	1071	
12	15	300	268	254	268	300
			1090	1044	1090	
13	16.25	300	272	261	272	300
			1105	1066	1105	
14	17.5	300	276	266	276	300
			1118	1084	1118	
15	18.75	300	280	271	280	300
			1131	1102	1131	
16	20	300	283	275	283	300

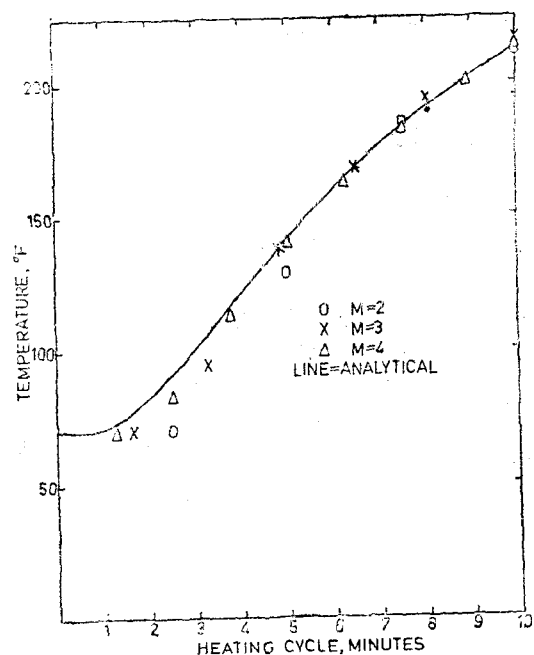


Fig.9. Comparison of numerical and exact solutions for Example 5.

能한 表를 만들 수 있다는 것이다.

Fig.9는 $M=2, 3$ 및 4 일때 heating cycle 이 最初 10 分 일 때의 結果를 나타낸 것으로 이것과 完全解에서 얻은 結果를 比較하여 나타내고 있다. Heating cycle 的 初期段階에서의 M 値가 높을수록 有利하다는 것이 明白하지만 고무의 加黃作業을 包含한 모든 作業에 對해서 式 (12)는 正常的인 加黃溫度範圍가 確保되기만 한 다면 充分한 正確度를 가진 結果를 나타내 준다.

表面抵抗을 無視할 수 있다든지 限定되어 있는 兩者 의 경우에 對해 圖式法에 依해 解를 얻을 수 있는데 그 例는 參考文獻^{12, 21}을 찾아 보기 바란다.

既知(計算에 依하든지 測定에 依하든지 間에)의 表面溫度가 流動的일 때 數式法을 使用하여 단지 完全解가 없을 경우에 限해서 使用한다. 表를 作成하는 要領은 마찬가지이나 단 實質的인 表面溫度(計算 或은 記錄에 依한 것)는 適切한 time interval 을 가지게끔 하여 使用한다.

Cuthbert⁷는 slab 表面을 相異한 速度로 各各 相異한 温度까지 加熱할 경우에 대해 一例를 보여 주고 있는데 고무 slab 的 크기가 클수록 加黃의 增加程度는 이 方法에 依해 把握이 된다.

表面抵抗이 有限일 경우 表面係數($N_s = h\Delta L/k$)를 導入해야 하며 M 은 $2N_s + 2$ 와 같은지 이보다 크야 한다. 이럴 경우一般的으로 다른 整數가 되기 때문에 近

似法을 使用해야 한다(参考文獻²¹⁾ p.128-31 參照)。

고무와 금속으로 된 複合層과 같은 不均質系에 있어서 各材質에 對해 同一한 Δt 를 取해야 하며, 이렇게 하므로서 두께增加分 ΔL 을 式(12)(或은 M 值를 2 以外의 數値를 使用할 경우 補完을 하여)를 使用하여 各各에 對해 計算해야 한다.

어떤 경우에 있어서는 두가지 材質 사이의 接觸抵抗 h 를 必히 알아 두어야 하겠으나 大部分의 경우 이 것을 無視해도 된다.

고무一金屬 不均質系를 다음과 같은 單一次元 加熱에 對해 取扱할 수 있다. 고무의 두께增加分을 擇하되 可能한 限 金屬의 두께 整數增加分에 가깝게 한다. 例로서 sandwich 構造로 된 고무/steel/고무에 있어서 各 고무 slab의 두께가 1 인치이고 steel의 두께는 8 인치 일 때 이것들을 兩面에서 加熱할 경우를 생각해 보기로 하자. 고무와 steel의 熱擴散度는 각각 0.01 및 $1\text{in}^2 \cdot \text{min}^{-1}$ 이라고 할 경우 $M=2$ 로 取하면 다음과 같은 式이 된다.

$$\text{고무 } \Delta t = \frac{(4L)^2}{0.02} \quad \text{steel } \Delta t = \frac{(4L)^2}{2}$$

Δt 值은 同一해야 하므로 steel에 對한 ΔL 은 고무에 對한 ΔL 值의 10倍로 잡아야 한다. 고무의 中央面과는 關係가 없으므로 偶數로 區分할 必要是 없지만 系의 均衡을 잡기 為해서는 steel의 경우에 대해서 해주어야 한다. 各 고무 slab을 다시 3, 4, 5 및 6層으로 細分하면 steel에 對해서는 2.4, 3.2, 4 및 4.8 層이 된다.

이와 같이 고무에 對해서 5個로, steel에 對해서 4個로 細分하면 이 系에서는 何等의 近似法을 쓸 必要가 없다. 다시 말하자면 고무의 ΔL 은 0.2 인치, steel의 ΔL 은 2 인치 그리고 Δt 는 이를 兩面에 對해서 2分이다. 初期 및 加熱된 後의 溫度를 안다면 計算을 正常의 方法으로 할 수 있다.

길이가 긴 cylinder에 對한 加熱 或은 冷却은 傳熱이 必須의 으로 放射形으로 되기 때문에 數式法으로서 單一次元系로 計算할 수 있다. 半徑을 細分하는데 對한 具體的인 方法은 Dusinberre²¹⁾가 研究한 바 있다. 그 한 가지 方法으로서는 半徑을 同一하게 區分하여 各區分을 通해 傳熱量을 相異하게 하는 것인데 이 때에 $M=5$ 을 使用하여 適切히 補完시켜 주면 된다. 溫度計算은 다음과 같이 한다. 한 time interval에서의 中心部의 溫度를 T_c 라고 하고 그 다음의 time interval에서의 中心部의 溫度를 T'_c 라고 한다면 다음과 같은 關係가 成立된다.

$$T'_c = \frac{4}{M} \cdot T_1 + \left(1 - \frac{4}{M}\right) T_c \quad (16)$$

表 8

Line	表 面	$\frac{2}{3}$	$\frac{1}{3}$	中 心
Factor, $n+1$	—	0.25	0.3	0.8
Factor, n	—	0.6	0.6	0.2
Factor, $n-1$	—	0.15	0.1	—
Interval, 0	185	70 46 42 10	70 21 42 7	70 56 14 0
Interval, 1	300	98 75 59 10	70 29 42 7	70 56 14 —
Interval, 2	300	144 75 86 12	78 43 47 7	70 62 14 —
Interval, 3	300	173 75 104 15	97 52 58 8	76 78 15 —
Interval, 4	300	194 75 116 18	118 58 71 9	93 94 19 —
Interval, 5	300	209 75 125 21	138 63 83 11	113 110 23 —
Interval, 6	300	221 75 133 24	157 66 94 13	133 125 27 —
Interval, 7	300	232 75 139 26	173 70 104 15	152 138 30 —
Interval, 8	300	240 75 144 28	189 72 113 17	168 150 34 —
Interval, 9	300	247 75 148 30	202 74 121 18	184 162 37 —
Interval, 10	300	253	213	199

여기서 T_1 는 初期 time interval에서의 中心에서부터 的 첫째 細分된 部分의 溫度이다. $M=5$ 을 使用하여 代入하면 式(17)이 된다.

$$T'_c = 0.8T_1 + 0.2T_c \quad (17)$$

n 번째 細分에 對해서는

$$T'_n = \frac{2n-1}{2nM} \cdot T_{n-1} + \frac{2n+1}{2nM} \cdot T_{n+1} + \left(1 - \frac{2}{M}\right) T_n \quad (18)$$

가 된다.

[例題 6]

初期溫度가 $21^\circ\text{C}(70^\circ\text{F})$ 이고 外部에서 加熱했을 때의

溫度가 149°C (300°F)인 길이가 긴 cylinder에서의 中心溫度의 履歷을 數式法으로 解析하고자 한다. 이럴 경우一般的인 相互關係를 찾아내고任意의 time interval에서의 條件, 即 热擴散을 無視한다면 式(12)의 左邊에 있는 比例式을 $1/5$ 로 하여 두면 D 值가 如何하든지, 또 cylinder의 直徑이 얼마나 되든지 간에 이를 數值에 對한 實質的인 time interval을 決定할 수가 있다.

表 8은 이러한 計算을 하여 둔 것인데 zero time에서의 表面溫度를 從前과 같이 21°C 와 149°C 사이의 中間을 取하고 있으며 半徑은 세 區分으로 나누어져 있다.

表가 作成된 以上 $M=5$ 를 使用하여 既知의 直徑과 热擴散度로 부터 時間增加分의 크기를 決定함으로써 이러한 條件下에서의 어떠한 直徑을 가진 긴 cylinder에 對해서도 溫度一時間關係를 plot 할 수 있는 것이다.

이러한 表에서 導出되는 結果는 解析法으로 誘導된 數值과 아주 잘一致함을 알 수 있다. 이러한 計算方法은 流動的인이라는 하나 既知인 表面溫度를 使用하거나 찾아내고자 할 때 使用된다.

單一次元加熱에 對한 計算例가 充分히 發表된 바 있으므로 讀者들은 이것들을 利用하여 自己의 條件에 맞게끔 適用시킬 수가 있으며 이제부터는 二次元加熱에 對해 考察해 보기로 한다. 簡單한 例로서 正方形의 斷面을 가지고 길이가 無限히 길어서 末端의 加熱效果를 無視할 수 있을 程度로 긴 막대기를 加熱할 境遇에 對해 생각해 보자.

一般的인 境遇로서 正方形斷面을 가진 길이가 긴 막대기를 加熱할 때 次元이나 热擴散度의 實質的인 數值는 無視한다. 最初溫度가 21°C (70°F)이고 外部加熱時의 溫度가 149°C (300°F)(表面抵抗은 無視함)일 때 각 方向에 對해 4 가지로 細分하면 Fig.10(a)에서 알다 싶이 막대기의 斷面의 幾何學的인 點의 配置에서 "A"라고 表示된 것은 모두가同一 time interval에서同一 溫度이다. 마찬가지로 S, B 및 C點에 對해서도 適用이 되는데 여기서 C는 幾何學的 center이다. 이러한 경우 計算은 Fig.10(b)에 있다 싶이 이를 點에 製限된다.

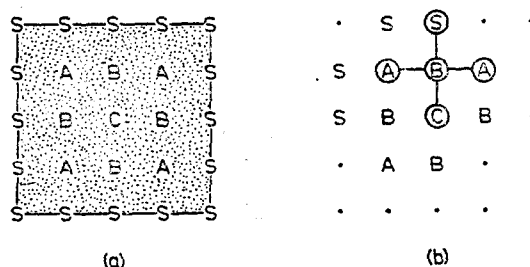


Fig.10. Sub-division for a square bar for heating in two dimensions.

$M=5$ 로 取하면 計算은 다음과 같이 된다. T_s , T_A , T_B 및 T_c 를 각각 S, A, B 및 C點에서 한 time interval에 對한 溫度라고 하면 그 다음 time interval에 있어서는 다음과 같이 나타내어 진다.

$$T_B' = \frac{1}{5}(T_s + 2T_A + T_B + T_c) \quad (19)$$

이 式은 Fig. 10(b)의 境遇에 對한 것이다. 最初 다음 time interval에 對한 結果는 表 9에 나와 있으며 각 time interval에서의 計算은 Fig.10(b)에 있는 것과 같은 型을 각각 分離시킨 圖表에 對하여 된 것이다.

表 9 例題 7의 計算結果

Interval	T_s	T_A	T_B	T_c
0	185	70	70	70
1	300	116	92	70
2	300	180	139	88
3	300	211	177	129
4	300	233	206	167
5	300	249	228	198

$D=0.01\text{in}^2\cdot\text{min}^{-1}$ 이고 $\Delta L=0.25$ 인치($\Delta t=1.25\text{min}$)인 正方形이고 길이 1인치인 bar의 中心溫度는 表 10에 나와 있는데 完全解에 依한 結果와 더불어 모든 溫度가 0.5°F 程度의 小數點이 따르고 있다.

여기서 알 수 있는 것은 表 10의 time interval은 1.25 分의 倍數가 아니다.

여기에 나온 數值은 表 9를 連續的으로 圖表化하여 얻은 것이다.

마찬가지로 1×1.5 인치인 bar에 對해서 또 다시 區分을(正方形 bar인 경우에는 點이 4이나 여기서는 點이 7임) 0.25로 하여 計算을 한 結果 數值은 完全解에서 보다 약간 높은치를 나타낸다. 兩者的 경우에서

表 10 例題 7의 計算 및 解析結果

時 間(分)	計 算 值	解 析 值	差
4	137	130.5	6.5
6	192	185.5	6.5
8	230	223	7
10	254	248	6
12	270	265	5
14	280	276.5	3.5
16	287	284	3
18	291	289.5	1.5
20	294	292.5	1.5
22	296	295	1
24	297.5	297	0.5
26	298	298	0

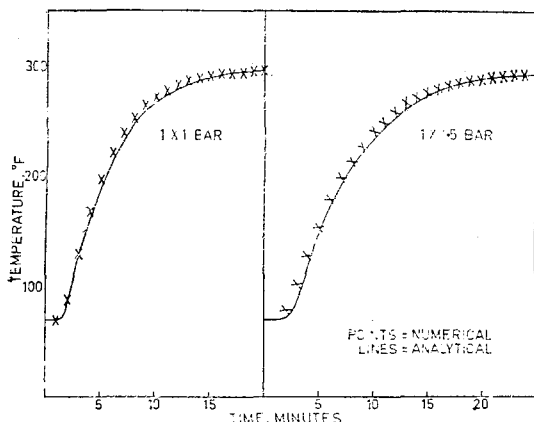


Fig. 11. Numerical and analytical results for square and 1×1.5 bars.

zero time에 關係없이 計算에 使用된 interval 보다 半程度 크게 interval을 잡아서 그 때의 溫度를 代入하여 주면相當히 눈에 띌 정도로 一致하게 된다. 다시 말하자면 表 9에 있는 溫度를 time interval이 $0, 1\frac{1}{2}, 2\frac{1}{2}$ 에 대한 것으로取할 것 같으면 서로가 잘 一致하게 된다는 것이다. 正方形 및 1×1.5 인치 bar에 對한 數式 및 解析的인 方法에 依한 結果는 Fig.11에 있는 바와 같은데 여기서 time interval을 반으로 잡아줄 필요가 있다는 것을 分明히 알 수 있다. 그러나 이러한 結果에서 보다 심이 이러한 补完方法은一般的으로 고무加黃과 關係되는 計算에는 適用할 必要가 없는데 그 理由는 이러한 計算時에 無視되었든 h 가 미치는 영향에對하 어느 程度 补正이 되기 때문이다.

勿論 방금 講論된 바 있는 이러한 單純한 例를 解析的으로 풀 수가 있지만 表面이 각各相異한 溫度로 加熱될 때는 數式法이 適當하다. 길이가 짧은 cylinder의 加熱은 傳熱方向을 放射形 및 軸方向으로 考慮하여 表 8과 10에 適用된 諸方法을 結合시키므로서 數值의 으로 처리될 수 있다. 다시 말하자면 만일 Fig.10이 直徑과 同一한 길이를 가진 cylinder에 대한 것이고 放射形의 加熱이 軸方向과 水平으로 되는 것과 더불어 垂直으로도 된다면 式(19)는 다음과 같이 된다.

$$T_B' = \frac{1}{5} (2T_A + T_B + 1.5T_S + 0.5T_C) \quad (20)$$

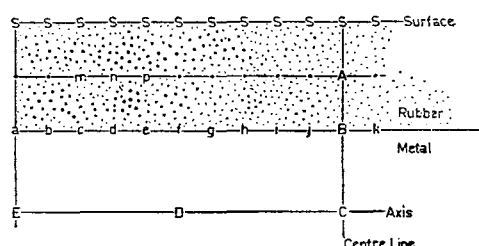
이 方法을 더 擴張하면 고무로 被覆된 大型金屬 roll의 加熱에도 適用할 수 있지만 計算하기가 꽤 時間이 所要되므로 解析法 或은 直接測定法을 使用하는 便이 좋다. 고무被覆 roll을 取扱할 경우에 있어서 解析法을 使用하는데 對한 一例를 들자면 R.H.Norman²²⁾의 研究論文을 들 수 있다. 이 論文에 引用되어 있는 參考文獻가운데 Carslaw 와 Jaeger²³⁾의 것이 있는데 數學의 인

識見이 있는 技術者들에게는 더 할 수 없이 優秀한 論文인 것이다.

한가지 簡略한 例를 보더라도 數式法의 適用方法을 알고 나면 興味롭다는 것을 알게 될 것이다.

[例題 8]

直徑이 10 單位이고 길이가 20 單位인 steel cylinder에 被覆된 1 單位 두께의 고무 cover의 中間部分에 位置한 一連의 點에 있어서의 溫度가 얼마나 올라가는지 近似值를 計算할 경우를 생각해 보자. steel의 热擴散度는 고무보다 100 倍나 크다고 假定한다. 放射形加熱은 式(20)에서처럼 簡略化되어前述한 바와 같이 고무와 steel을 不均質系라고 生覺한다. 適切한 dimension을 指하여 計算을 簡單히 할 수 있다. AL 을 고무의 경우에서 0.5 라고 大略의으로 取하면 steel에 대해서는 5이다. 軸의 scale을 要約할 수는 없지만 計算을 Fig.12에서와 같이 하기로 한다. 外部 및 最初溫度를 앞서와 같이 각각 149° 와 21°C (300°F 및 70°F)라고 한다. 여기서 알 수 있는 것은 이와 같이 高度로 簡素化된 系일지라도 40 個의 點을 考慮해야만 한다는 것이다. 表 11에 있는 結果를 얻기 為해서는 約 1時間程度의 計算을 해야 하는데 表 11에는 點 A, B 및 C에서의 溫度만 주어져 있다. 각 點을 一列로 한 것을 따라 각 溫度를 計算하자면 (cylinder의 경우 $M=5$) 使用된 軸方



Calculation plan for Example 8 (not to scale, and one quarter only of the roller shown).

Fig. 12. Calculation plan for Example 8 (not to scale, and one quarter only of the roller shown)

表 11 Fig.12의 點 A, B 및 C에 對한 溫度計算值
(例題 8)

	temperature, °F			
	S	A	B	C
Time unit, 0	185	70	70	70
1	300	97	70	70
2	300	126	78	74
3	300	167	92	85
4	300	189	114	97
5	300	205	135	114
6	300	218	155	124

向의 點들은 b 와 c 에 있어서 E, i, j, B 및 k 에 對해서는 C , 이고 d, e, f, g 및 h 에 對해서는 D 이다. d 와 더불어 考慮된 點들은 Fig.12에 있는 바와 같다.

세개의 interval line에 對해서 n, d 및 D 點에서의 溫度는 다음과 같이 計算한다.

$$T'_n = \frac{1}{5} (T_m + T_n + T_p + 1.25 T_s + 0.75 T_d) \quad (21)$$

$$T'_d = \frac{1}{5} (T_c + T_d + T_e + 1.5 T_n + 0.5 T_D) \quad (22)$$

$$T'_D = \frac{1}{5} (2.86 T_f + 0.71 T_E + 0.71 T_D + 0.71 T_C) \quad (23)$$

式(21)과 (22)는 放射形加熱에 關한 式에 根據를 둔 것으로서 同一 線위에 있는 3個의 點과 隣接 shell에 있는 各線위의 1點을 對象으로 한 것이다. 式(23)에서 7個의 點(軸方向: 3個, 放射形方向: 4個, 後者는 모두 f 系列의 것임)을 考慮에 넣어야 하며 各個에 關한 영향은 $M=5$ 에서 5/7를 곱해주면 나타난다.

이 경우에 있어서 고무보다 금속이 두께가相當히 두껍기 때문에 放射形加熱은 가장 큰 효과를 나타내며 軸方向加熱은 고무內部의 中心에서 보다 고무／金屬接合部에 對해서 그다지 溫度를 높여주지 않는다. 金屬의 부피가 比較的 작으면 軸方向의 傳導가 일어나서 内部로부터 고무를 加熱하는 效果를 發生한다. 이것은 Fig.13을 보면 잘 알 수 있는데, 即 그림에서 粗惡한 상태의 未加黃部分은 多孔質로 되어 있어서 表示가 分明히 나타나지만 反面에 未加黃이 된 部分은 硫黃에 依한 blooming 現象으로 分明히 나타나고 있다.

좀 더 具體的으로 說明하자면 다음과 같다. 热擴散度가 $0.0085 \text{ in}^2 \cdot \text{min}^{-1}$ 程度되는 配合고무가 2인치 두께로 길이가 8인치이고 直徑이 $\frac{3}{4}$ 인치되는 steel 軸에 씌워져 있다. 이 全體의 初期溫度는 26.7°C (80°F)이며 蒸氣加熱하여 145°C (292°F)에서 75分間維持시킨 후 數時間放置·冷卻하였다가 그림과 같이 切斷한 것

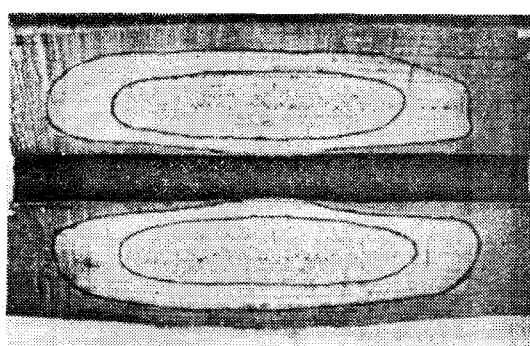


Fig. 13. Cross-section of a partly-cured rubber roll showing how the metal spindle has allowed for some internal heating.

이다. 數日 經過後에 多孔質과 硫黃에 依한 blooming 現象으로 나타나는 部分이 大略的으로 區分이 된 것이다. 이것은 金屬軸이 相當量의 热을 고무内部層으로 傳導하였다는 것을 分明히 나타내는 것이다.

結論的으로 말하자면 二次元의 인 數式法은 가끔 時間이 所要되지만 計算器를 使用하면 解析法과 같이 複雑 短縮되며 不便한 直接測定法을 使用할 必要가 없게 된다. 數式法은 아직까지도 고무被覆 工業用 roller와 같은 特殊用途에 使用價值를 가지고 있다.

其他方法의 適用

이제까지 理論的인 面이라든가 이에 關聯된 여러가지 例題를 充分히 다루었기 때문에 讀者들은 自己自身的 特殊條件에 合當한 資料를 더 確保할 수 있으리라 본다. 다음에 列舉하는 것들은 興味을 끌고 있는 點들이다.

1) 發表된 여러 資料를 가지고 該當 材質의 热擴散度를 計算 或은 推算할 것이다.

2) slab, 長方形 block, 立方體, 球形 或은 圓柱形 等可能한 限 여러가지 形狀에 對해서 考慮해야 한다. 고무織物複合物로 된 slab(例컨대 conveyor belt 같은 것)은 構成部分의 實際의in 전 두께를 하나의 두께^{5,24)}로 간주하여 代替함으로써 均一 slab으로 看做할 수 있다.

3) h 值은 無視한다. press 加黃이나 蒸氣加黃의 경우 大部分 無視할 수 있다.

4) 表面溫度가 不變이면 完全解法이나 chart를 使用한다. 但, 不均質系에 對해서는 除外됨.

5) 表面溫度가 流動의이지만 既知이고 計算可能할 때는 數式法을 利用한다.

6) 溫度에 關한 그라프를 使用할 수 있을 경우:

가) 同一 物件일지라도 D 值가 相異하면 time-temperature 曲線을 推定하면 停滯時間은 D 值에 逆比例함을 알 수 있다.

나) 同一 物件에 있어서 位置가 다를 경우 그라프를 대 證적으로 그려보면 주어진 溫度에 到達하는 時間은 表面으로부터의 거리의 제곱에 比例함을 알 수 있다

7) 實行可能性이 있으면 適當한 測定器具에 附着되어 있는 thermocouple로서 直接 測定해야 한다. Thermocouple은 正確히 固定된 位置或은 測定하고자 하는 位置에 設置해야 하는데 一般的으로 加熱過程에 있어서 어느時期에 最低溫度를 가지고 있는 位置를 말한다. 一定 條件下에서 thermocouple을 가지고 check를 한다는 것은 모든 因子를 考慮해 둬야 한다는 것이며 이因子들中 大多數는 數式的인 方法으로 處理하기는 困難하다.

8) “停滯時間”은 Connant, Svetlik 및 Juve²⁵⁾가 만든

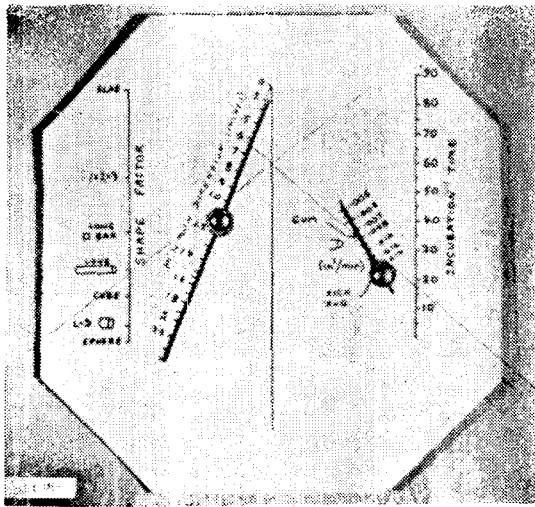


Fig. 14. Nomograph,

nomograph를 사용하면求할 수 있는데 Fig.14는 Rubber World에 실린 것을 再版한 것이다. 사진에 있는 nomograph形은單純한機械的構成을 하고 있다. 文獻²⁶⁾을 보면 加黃時間計算時停滯時間에 關한 使用法을 알 수 있다.

加黃狀態計算

고무試片에 對해 物理試驗을 하여 加黃狀態를 測定할 수 없을 때는 加黃狀態를 計算하는데 있어서 몇 가지 方式이 必要하게 되는데 이것은 前述한 바 있는 여러 方法들 가운데서 한가지 方法을 使用하여 導出된 溫度一時間曲線을 使用하는 것이다. 여리가지 方法이 文獻^{24, 25,}
²⁶⁾上에 나와 있으며 모두가 nomograph를 使用하여 加黃時間을 計算하는 方法이 包含되어 있다. Freeman^{27),} Nikolov²⁸⁾ 및 Claxton과 Liska²⁹⁾에 依하면 加黃狀態는 多孔性 或은 “氣泡點”으로 說明이 되고 있고 또한 Claxton等은 CEPAR裝置³⁰⁾를 使用해서 加黃理論을 誘導해 由此으로서 이것에 依해 加黃狀態를 究明하고 있다.

Juve²⁵⁾ 및 Sheppard, Wiegand³¹⁾等은 時間一溫度グラフ(加熱 및 冷却 cycle을 모두 包含함) 내에 包含되어 있는 面積을 使用하여 어떤 溫度下에서의 “對應加黃”으로서 加黃狀態를 알 수 있는 方法을 例證하고 있다. 다음에 나오는 Fig.15는 이것을 具體的으로 나타낸 것인데 溫度變化幅이 큰 곳에 사용할 수 있는 方法이지만 번잡스러운 것이다. 그러나 이 方法을 使用하면 溫度變化의 起伏이 smooth 해 지므로相當히 良好한結果를 얻을 수 있다.

또 다른 한가지 方法은 加熱冷却曲線을 time interval을 作게 잡아서 細分하여 各 interval에서의 平均溫度를 求하여 加黃量을 計算하여 各各의 累計를 내는 方法이다. Fig.15에서는 溫度範圍를 使用하여 條件에 맞는 點이 이 溫度範圍內에 存在할 때의 時間을 測定한

다. 이러한 方法은 모두가 그렇듯이 加黃溫度係數가正確히 把握이 되지 않으면 適當한 值를 指해야 하며 普通 $10^{\circ}\text{C}(18^{\circ}\text{F})$ 마다 因數 2를 使用하고 있다.

아주 간단한 加黃狀態變換 計算器를 計算尺形式으로 만들 수 있는데 基臺에는 溫度를 $10^{\circ}\text{C}/\text{in}$ 인 比로 區分을 하되 偶數가 되게하고 slide에는 時間을 表示하면 된다. 距離 d 는 다음식에서 計算할 수 있다.

$$2^d = t, \quad d = 3.322 \log_{10} t$$

Fig.15는 硬度가 70° (shore)이고 크기가 $3 \times 3 \times \frac{7}{8}$ 인 치인 block 形狀의 clay 配合 SBR compound를 型에서 $152^{\circ}\text{C}(306^{\circ}\text{F})$ 로 加熱했을 때의 中心에서의 溫度를 plot한 것이다. 計算值를 보면 알 수 있다. 中心은 15分 加熱後에도 金型溫度에 到達하지 않으나 計算結果를 檢討해 보면 中心은 適正加黃狀態가 되어 있음을 알 수 있다. 使用된 略記號는 다음과 같다.

a) Interval

特定 溫度範圍에 該當되는 時間을 가리키며, $104.5^{\circ}\text{C}(220^{\circ}\text{F})$ 와 $115.5^{\circ}\text{C}(240^{\circ}\text{F})$ 사이에서 1.2 分이다.

b) C 値

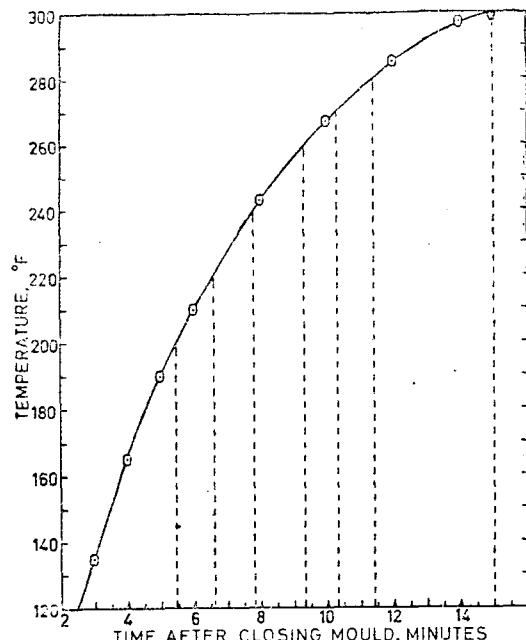


Fig.15. 硬度 70° (Shore hardness)인 clay 配合 SBR compound. 두께 $7/8$ 인치인 mould를 306°F 에서 加熱했을 때의 溫度에 對한 plot임. 고무의 加黃時間(Mooney test에 依한 것임)=15.1分(266°F)

Interval	1.15	1.2	1.45	1	1.1	1.3	2.3
C 値	0.1	0.25	0.5	1	1.5	2.2	3.2
4-加黃	0.12	0.3	0.73	1	1.65	2.86	10.36
T-加黃	0.12	0.42	1.15	2.15	3.80	6.66	17.02
% Cure	0.1	3	7.5	14	25	44	113

溫度範圍에 대한 平均加黃值임, 130°C (266°F)에서의 加黃時間을 말하는 것으로서 이것은 範圍內의 平均溫度에서 1分에 該當됨.

c) Δ -加黃

Interval 과 加黃值의 積이며 고무가 interval 사이에서 加黃이 되는 量, 即 加黃量(130°C 에서의)과 同一함.

d) T -加黃

Δ -加黃의 累計임.

e) %-Cure

이것은 단순히 앞의 項의 加黃時間(130°C 에서의 計算值)에 對한 比이다. 그라프를 보면 알 수 있는 것은 고무의 中心部는 149°C (300°F)에 이르기 前에 이미 充分히 加黃이 되었다는 것이다. 時間에 對한 %-Cure 를 plot 해보면 内部는 73分에 50% 加黃이 되었고 $14\frac{1}{2}$ 分에는 充分히 加黃이 되었음을 알 수 있다. 이 시간을 지나서는 表面은 거의 300% 程度 加黃이 된다.

概 括

前述한 方法들과는 關係없이 electrical analogue computer 를 使用하여 傳熱에 關한 問題를 풀 수 있다³³⁾. D 值을 求하는 文法은 文獻³⁴⁾에도 나와 있으며 그 중 몇 가지는 고무 sheet 를 加熱하는 方法에 依해 求한 것이 있는데 다음에 나와 있는 바와 같으며 이들은 모두 NR gum stock 的 D 值가 $0.0075\text{in}^2 \cdot \text{min}^{-1}$ 인 것에 根據를 두고 求한 數值이다.

NR 100, clay 30	0.008
NR 100, clay 65, whiting 65	0.0095
NR 100, clay 12.5, black 65	0.010
NR 100, black 80	0.0105
NR 100, clay 130, whiting 65	0.0105
CR 100, black 65	0.012
CR 100, black 100	0.015
CR 100, black 100	0.015
CR 100, ZnO 500	0.026

本 章을 通해 “高配合物”이라 說은 carbon black 100 部 或은 zinc oxide 150 部가 配合된 것을 말한다. CR 配合物은 zinc oxide 가 500 部 以上 配合된 것을 말하면 D 值가 $0.015\text{in}^2 \cdot \text{min}^{-1}$ 以上인 것은 한 層더 高配合物에 對해서 說을 수 있기 때문에 一般配合物은 包括되지 않는다는.

充填劑와 polymer 間에 濕潤性이 不良해지는 理由는 同一 配合量일지라도 whiting 과 clay 는 carbon black 보다 D 值를 減少시킬 可能성이 있다는 事實에 起因한다. Butyl 고무의 경우에 대해 例를 들자면 whiting 을 두 배

로 해 주면 carbon black 과 同一한 D 值를 나타낸다.勿論 carbon flack 의 等級에 따라 數值도 달라지게 된다.

要 約

고무는 不良熱傳導體이며 두께가 두꺼우면 内部가 適正溫度水準에 이르기 전까지 加黃時間이 길어진다. 加黃溫度가 上昇할수록 加黃物의 物性은 劣化되는 傾向이 있다. 天然고무든지 合成고무든지 間에 過加黃에 對한 抵抗性이 나쁘므로 特히 高溫加黃에 對해 敏感하다. 이것은 高溫에서 短時間 加黃할수록 加速된다.

平坦加黃配合物의 경우에서 보더라도 内部가 適切히 加黃되기도 前에 外部는 過加黃이 되는 수가 있다. 近來 發刊된 文獻³²⁾에서도 이러한 內容이 잘 說明이 되어 있는데 다른 角度에서 考察해 볼것 같으면 停滯時間이 比較的 길지 않은 限 加黃時間은 停滯時間과 sheet 加黃時間과의 合이라고 말할 수 있겠다.

例를 들어 說明하자면 130°C (266°F)에서 停滯時間이 10分이고 sheet 加黃時間이 20分인 製品은 이 溫度에서 30分間 加黃해야 된다는 것이다. 溫度係數를 2라고 假定할 경우 140°C (284°F)에서의 加黃時間은 $30 \times \frac{1}{2} = 15$ 分이 아니라 $20 \times \frac{1}{2} + 10 = 20$ 分이 된다. 크기 가 큰 製品은 普通 다음에 있는 여러 方法들 가운데 한 가지 또는 여리가지를 組合하여 加黃시킨다.

a) 크기가 작은 것에 대한것 보다 낮은 溫度에서 加黃한다.

b) 浸透加黃——製品을 加壓下에 두고서 外部加黃은 繼續시키고 熱이 中心으로 浸透하게 한다.

c) 段階加黃——처음에는 低溫에서 始作하여 一定間隔을 두고 漸次 溫度를 上昇시켜 最終의으로 加黃溫度까지 올린다.

d) 可能하다면 metal base 나 金型에서 고무를 蒸氣加黃시킬 경우에 있어서 속이 빈 軸을 사용하여 内部로부터 加熱하면 加黃時間이 短縮된다.

e) 冷却中의 後加黃——이것은 加熱裝置에서 끄집어 낸 후 製品의 外部를 冷却시키는 方法이다. 加熱된 製品이 쌓여 있거나 適切하게 冷却되지 않을 때 加黃이 追加의으로 되거나 過加黃이 될 우려가 있는 製造工程에서는 혼히 들이 方法을 無視하고 있다.

여기서 強調해 두어야 할 것은 항상 製品의 外部를 完全히 加黃시킬 必要는 없다는 것이다. 多孔性이나 氣泡生成을 助長하는 不良加黃狀態와 表面에서의 過加黃狀態間의 均衡을 取해 줘야 하는데勿論 이때는 加黃時間은 短縮시켜야 한다는 經濟的인 側面도 아울러 考慮해야 한다. 이것은 고무技術者가 當面해야 할 課題에 屬하며 바람직 한것은 本章의 內容이 여러 狀況下

에서當面한問題에 對해 어떻게 對處해야 할지를 보르는 여러 技術者들에게 도움이 되었으면 하는 것이다

文 獻

1. Frumkin, L.S., and Dubinker, Yu. B., Rubb. Chem. Tech., 13, 361(1940).
2. Morris, R.E. Hollister, J.W., and Mallard, P.A., Ind. Eng. Chem., 36, 649(1944).
3. Beatty, K.O., Armstrong, A.A., Schoenborn, E.M., Ind. Eng. Chem., 42, 1527(1950).
4. Freeman, H.A., and Gehman, S.D., Rubb. Age, 86, 86 (1959).
5. Lepetov, V.A., Fogel, V.O., Tomchin, L.B., and Krainova, N.A., Sov. Rubb. Tech., 21, 27(1962); Kauchuki Rezini, 21, 36(1962).
6. Newman, A. B., Ind. Eng. Chem., 28, 545(1936).
7. Guthbert, C., Trans. IRI, 30, 16(1954).
8. Schneider, P.J., Conduction Heat Transfer, Addison-Wesley Publishing Co., Inc., Mass. (1955).
9. Olson, F.C.W., and Schultz, O.T., Ind. Eng. Chem., 34, 874(1942).
10. Ingersoll, L.R., Zobel, O.J., and Ingersoll, A.C., Heat Conduction, McGraw-Hill, New York(1948).
11. Gurney, H.P., and Lurie, J., Ind. Eng. Chem., 15, 1170(1923).
12. McAdams, W.H., Heat Transmission, 3rd ed., McGraw-Hill(1954).
13. Williamson, E.D., and Adams, L.H., Phys. Rev., 14, 99(1919).
14. Grober, H., Warmerübertragung, Springer, Berlin (1926).
15. Schack, A., Stah, u. Eisen., 50, 1289(1930).
16. Fishenden, M., and Sanders, O.A., An Introduction To Heat Transfer, Oxford, New York (1950).
17. Heisler, M.P., Trans. ASME, 69, 227(1947).
18. Goldschmidt, H., and Partridge, Industrial Heat Transfer, Wiley, New York(1933).
19. Perry, J.H., Chemical Engineers' Handbook, 4th Edition, McGraw-Hill(1963).
20. Newman, A.B., Trans. Am. Inst. Chem. Engers., 24, 44(1930).
21. Dusinberre, G.M. Numerical Analysis of Heat Flow, McGraw-Hill, New York(1949).
22. Norman, R.H., Trans. IRI, 36, 272(1960).
23. Carslaw, H.S., and Jaeger, J.C., Conduction of Heat in Solids, The Clarendon Press, Oxford(1947).
24. Fogel, V.O., and Tomchin, L.B., Sov. Rubb. Tech., 22, 31(1963); Kauchuki Rezina, 22, 33(1963).
25. Connant, F.S., Svetlik, J.R., and Juve, A.E., Rubber World, 137, 856(1958).
26. Juve, A.E., Chapter 2 of Vulcanization of Elastomers, Edited by Alliger, G., and Sjothun, I.J., Reinhold Publishing Corp., New York(1964).
27. Freeman, H.A., Abstract Rubb. World, 144, 93 (1961). Blow Point in Tire Compounds, Paper

presented at the Division of Rubber Chemistry Meeting, Chicago, Sept., 1961.

28. Nikolov, N.S., Camelback Cure Rate, Polysar Technical Report No. 62:6A(1962).
29. Claxton, W.E., and Liska, J.W., Rubb. Age, 95, 237(1964).
30. Claxton, W.E., Connant, F.S., and Liska, J.W., Rubb. World, 143, 71(1960) and Rubb. World, 144, 71(1961).
31. Sheppard, J.R., and Wiegand, W.B., Ind. Eng. Chem., 20, 953(1928).
32. Thompson, J., and Watts, J.T., Trans. IRI, 42, 173(1966).
33. Heap, R.D., and Norman, R.H., RAPRA Technical Review No.36(1966).
34. MacRae, D.R., and Zapp, R.L., Rubb. Age, 82, 831(1958).
35. Hills, D.A., Rubb. J., 149(3), 50(1967).

4 장 加黃特性의 解說

前章에서 加黃特性과 이에 關聯된 傳熱에 關해 기본적인 것을 詳細히 考察하였으므로 本章에서는 加黃特性의 實際의인 面과 理論의인 面의 양쪽을 모두 檢討해보기로 한다.

近代의인 各種 機器를 使用하여 이러한 目的에 應用하자면 大多數의 경우 試片이 크므로 傳熱에 關한 知識이 있어야 한다. 具體的으로 이야기 하자면 使用되는 機器는 세가지만 있으면 되는데 即 Mooney Shearing Viscometer¹⁾(單純히 "Mooney"라고도 함), Wallace-Shawbury Curometer²⁾(略稱 Curometer) 및 Monsanto Oscillating-Disk Rheometer³⁾(略稱 Rheometer)가 이에 該當된다.

Mooney 加黃試驗

가장 오래된 것이며 近來까지는 가장 廣範圍하게 使用된 加黃特性試驗方法이다.

元來 Mooney 機는 生彈性體의 粘度를 測定하기 爲해 設計된 것이지만 加黃性 物質의 粘性과 加黃特性을 測定하는데 現在 使用되고 있다.^{4,5,6)}

Mooney 粘度測定機는 Fig.16에 있는 바와 같으며 操作方法은 여기서 再言할 必要가 없을 程度로 充分히 알려져 있지만 滿足스럽다고 할 程度로 말할 수 있는 것은 圓柱形의 cavity에 裝置된 rotor의 回轉으로 粘度를 測定하는 것인데 rotor와 cavity에 있는 die는 서로 텁니로 맞 물려져 있다. 所定溫度까지 die를 加熱하게 되는데 大體의으로 粘度測定에는 100°C(212°F)까지 加熱

$$C = 39A^{-0.4} + 110A^{-2} \quad (3)$$

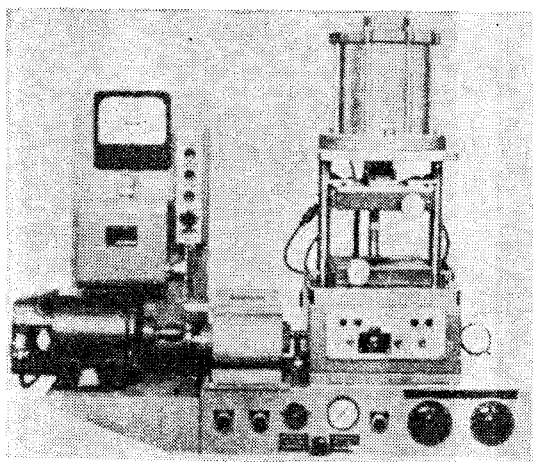


Fig.16. Mooney Viscometer Model STI

하며 加黃特性 測定에는 어느 한 溫度를 選擇하면 10 내지 20 分內에 心要한 data 를 얻을 수 있다.

Fig.17 을 보면 加黃物의 Mooney 粘度와 時間을 plot 해 놓은 典型的인 것인 있는데 測定範圍는 標準試驗方法에 依한 것이다. Fig.17 에 있는 data 와 大型 rotor를 使用하여 Mooney scorch time 을 通常의으로 判斷하자면 最小粘度보다 5 單位 높은 끝에 該當되는 時間이 되며 適正加黃時間은 Juve¹⁰ 式으로 計算한다.

$$t_c = t_5 + 10t_{\Delta 30} \quad (1)$$

Hills¹¹는 이 式은 더 擴張하여 一般式으로 만들었는데

$$t_c = t_5 + C t_{\Delta A} \quad (2)$$

여기서 $t_{\Delta A} = t_{(A+5)} - t_5$ 이다. 여기서 알 수 있는 것은 C 値는 粘度範圍外에서는 scorch time 이 5 내지 80 을 輸 선 능가하게 되는데 다음과으로 表示된다.

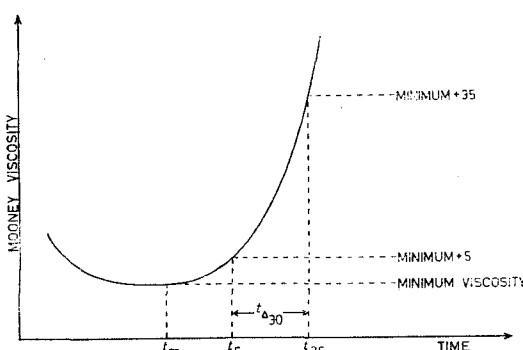


Fig.17. Mooney 粘度グラフ

이 式은 大部分의 配合物에 對해 나타나는 粘度-time曲線에 對한 “理想性”的概念을 導入한 것이다. Hills^{11, 12}는 또한 理想性을 假定하여 세 가지 式을 誘導했다.

$$t_c = t_5 + 17 \Delta t_{10} \quad (4)$$

$$t_c = t_5 + 12t_{\Delta 20} \quad (5)$$

$$t_c = t_5 + 8t_{\Delta 50} \quad (6)$$

式 (4), (1) 및 (6)은 “三點法”으로서 理想性을 檢討하기 為한 것이다. Scorch time 을 除外한 理想的인 曲線에 보다 簡單한 式을 適用시키고자 나온 것이¹² 修正 단위인 $\Delta t_{30}=1$ 을 바탕으로 한 時間에 對한 式으로 된 式이다.

$$A = 28t^2 + 2t^5 \quad (7)$$

$t =$ scorch time 을 경과한 後의 時間 ($t_5=0$)

$$t_{\Delta 30}=1$$

이 式은 $0.2t_{\Delta 30}$ 이상인 모든 t 値에 對해 고려할 때 實驗許用誤差를 가진 範圍내에 該當되는 式이다. 이 點以下에서는 t 가 zero 일 때(즉 scorch time) 粘度는 實際의으로 增加한다는 事實때문에 變化가 뚜렷이 일어나며 이 點에 該當되면 기울기가 十로 된다. 그 差異는 粘度 1 單位이하 程度이다.

表 12를 보면 理想的인 配合物에 對한 Mooney 粘度도 增加하며 修正된 時間單位에 對해서도 增加하고 있다.

表 12 理想的인 配合物의 Mooney 粘度增加

$A =$	-5	-3	0	2	5	10
$t =$	-1.68	-0.48	0	0.182	0.368	0.573
$A =$	20	30	40	50	60	70
$t =$	0.829	1	1.139	1.252	1.345	1.425

$A =$ scorch time, t_5 에 따른 粘度增加

$t = t_{\Delta 30}$ 單位로 나타 낸 時間, 實驗平均值

Scorch time 앞에 있는 數値은 最小粘度 ($A=-5$)에서의 最終時間도 包含해서 表에 나와 있다. 여기나온 數値들은 Mooney test 를 각각 250 回 以上하여 求한 數値들을 平均한 것들이다.

配合이 理想的일 경우 表 13에 例示되어 있는 間 첫 번째의 數値들을 測定할 수 있는 方法이 몇 가지 있는데 表에서 나와 있는 數値들을 求하는데 使用된 方法은 發表된 여러 論文^{11, 12, 13}에서 使用한 方法을 그대로 跟襲한 것이다.

Mooney test 結果 實際로 記錄된 數値들은 코디체로 表示되어 있는 時間이다. 더 簡單한 點檢方法은 前述한 바 있는 “三點” 方法인데 即 時間을 t_5 , t_{15} , t_{35} 및

表 13 Clay 配合 NR(Shore hardress 50°)의 試驗
(Mooney 試驗結果 計算值, 最少粘度=30.5)

A	粘度	時間			Δ -時間	t_{430}	理想性
		分	秒	分			
0	35.5	8	31	8.52	Scorch time		
5	40.5	9	24	9.40	0.88	0.395	0.37
10	45.5	9	51	9.85	1.33	0.597	0.57
20	55.5	10	23	10.38	1.86	0.843	0.83
30	65.5	10	45	10.75	2.23	1.000	1.00
40	75.5	11	01	11.02	2.50	1.121	1.14
50	85.5	11	16	11.27	2.75	1.233	1.25
60	95.5	11	27	11.45	2.93	1.313	1.34
70	105.5	Crumbling				1.42	

t_{55} 로 表示하여 式 (4), (1) 및 (6)을 使用하는 것을 말 한다. 表 13에 나와 있는 結果는 t_c 値가 각각 31.1, 30.8, 및 30.5分이며 이것들은 配合이 理想的인 것에 屬한다고 해도 될 程度로 充分히 合當한 數值들이다.

이와 같은 方法으로 求한 最大 및 最小時間사이에서 10~20% 以上的 變動이 있다는 것은 配合이 非理想的인 것이며 計算으로 求한 加黃時間은 不確實한 것이라고 생각되지 않을 수 없다는 것을 가리키는 것이다. 이러한 “三點”法은 時間을 dial gage를 보고 測定하거나 recorder chart로 測定한 경우에 適當한 것이다.

第三의 方法은 圖式法으로서 그라프紙에다 水平線을 여러개 그는 데 이때 線을 表 12에 나와 있는 t 值와 같은 比率이 되게끔 거리를 띠운다. 다시 말하자면 10×8 인치 크기의 그라프紙위에다 2, 5, 10 等(A值)의 番號를 붙여 線을 그되 基準線에서 0.91, 1.84, 2.87 인치等의 거리가 되게 그는 것이다. 0은 scorch time 바로 以前의 時間으로 指定하고 있으므로 水平軸은 任意의 time scale이 된다. 粘度가 增加할 때마다 그 때의 時間이 記錄되므로 이 時間을 該當되는 水平線에 plot한다. 단일 點들이 曲線과는 區別되게끔 直線을 形成하면 그 配合은 理想的인 것이다.

방금 言及한 바 있는 이 方法을 使用하면 Mooney test를 廣範圍하게 할 경우에도 많은 data를 얻을 수 있게끔 되어 있다. 첫째로, dial gage에 依한 測定을 할 때에 不規則의 動이 發生하거나 早期崩壞가 發生하는 것을 分明히 알 수 있게 되며, 두째로는 偶發의으로 t_{35} 値를 빼 먹었을 경우에 다음에 나오는 경우에서 처럼 마지막으로 測定한 것을 繼續使用할 수 있다는 것이다. 만약 t_5 를 記錄하고 그 다음 測定值가, 例로서 t_{47} 이라면 加黃時間은 $A=42$ 를 使用하여 計算할 수 있고 表 12의 data를 使用하여 plot 한 그라프를 보면 $t=1.15$ 라는 것을 알 수 있다. 따라서

$$t_{430} = \frac{t_{47} - t_5}{1.15}$$

가 된다.

表 12에서 分明히 알 수 있는 것은 架橋가 導入되기始作하면 scorch time이 記錄되기 전에 어느 時期에 가서 分子의 機械的 및 热的인 崩壞가 抑制되는지, 다시 말하자면 scorch time이 正常의 記錄되기 前에 加黃이相當한 時間에 걸쳐 일어난다는 것이다. 粘度가一定하게 上昇하기에 앞서 最終的으로 가장 낮은 粘度에 該當하는 時間은 그라프를 使用하드라도 測定하기가 어렵다. 마찬가지로 最小보다 1單位 위에서의 上昇速度는一般的으로 大端히 느리므로(或은 可變의이므로) 正確한 測定을 할 수 없다. 그러나 大部分의 경우에 있어서 最小粘度($A=-3$)보다 2單位 增加될 때의 時間인 t_2 는 어느 程度의 正確性을 가지고 記錄될 수 있다.

Hills¹⁴⁾에 依하면 이것은 加黃이 分明히始作되는 것을 나타내는 것이라고 하고 있다. 加黃時間 計算式이 새로 誘導되었는데 다음과 같다.

$$t_c = t_2 + 10t_{\Delta 13} \quad (8)$$

여기서 $t_{\Delta 13} = t_{15} - t_2$ 이다.

이 새로운 計算式은 理想的인 配合物에 適用되는 加黃時間 計算式이며 該當配合物의 理想性에 關係없이 正規의 比較試驗에도勿論 適用된다.

前述한 것은 大型 rotor인 경우에 對한 것이지만 小型 rotor를 使用할 경우에도 이와 類似한 方法을 使用하는 데, 即 Juve¹⁵⁾에 依하면 이러한 경우에도 最小粘度보다 3單位 增加한 粘度에서 scorch time을 測定할 수 있으며 30單位代身에 18單位만 上昇시켜 大型 rotor를 使用했을 때 나오는 結果와 比較될 수 있는 數值를 얻을 수 있다고 한다. 小型 rotor 使用時에 最初로 나온 計算式¹⁵⁾은

$$t_c = t_m + 6t_{\Delta 30} \quad (9)$$

이었는데 여기서 t_m 은 粘度가一定하게 上昇하기 以前의 最小粘度에 該當하는 scorch time이다.

該當配合物을 混合하여 사용중에 最大的 效果를 얻을 수 있다면 여러개의 試片을 組合시켜 試驗을 하면^{16, 11)} 試驗時間이 훨씬 短縮될 수 있다. 實際로 數年間 Mooney test에 適用시켜 본 結果 大成功이었다. 特히 配合物에 對해 正規의 check를 할 때에 있어서는 加黃時間이 短縮된다.

이러한 結果가 極히 一貫性이 있는 反面에 微少한 跌이 生產過程에서 問題로 나타나기도 했는데, 即 어떤 配合物은 加黃過程中에 130°C(266°F)에서 scorch time의 範圍가 1分이 되는 것도 있었다.

Mooney 試驗片內의 傳熱遲滯가 미치는 影響은 本章 끝부분에 가서 言及하였다. 結論으로서 指摘할 수 있

는 것은 몇 군데 適用을 할려면 適正加黃은 stress strain 보다는 其他 몇 가지 性質에 入脚해야 된다는 것이다. 廣範圍한 Mooney test 를 하자면 式 (1) 中의 10 을 交替할 수 있는 定數를 決定함으로서 配合物에 미치는 影響을 判斷할 수 있는 경우에 使用할 수 있다.

Wallace-Shawbury Curometer

이 試驗裝置(Fig.18)에는 小型 試牛을 두개의 加熱板 사이에 끼워 평평한 金屬 blade 나 paddle 을 一定하면서도 振幅調節이 可能하게끔 低周皮數 振動을 시켜 剪斷變形을 일으키게 하는 것이다. 加黃過程中에서 試片이 硬直性을 점점 띠게 됨에 따라 振動은 低下하게 되는데 이것을 機械的으로 擴大시켜 chart에 記錄하는 것이다. 캐스 주머니 모양으로 생긴 圖形을 檢討하여 必要한 data를 求한다. 위에 나온 캐스 주머니 모양의 圖形이라는 말은 後述하겠지만 Curometer Model V 까지의 裝置에 關係되는 것이다. Model VI 에는 自動記錄裝置가 되어 있어서 Fig.19에 있는 바와 같은 圖形의 折半의 擴大版을 그릴 수 있게 되어 있다.

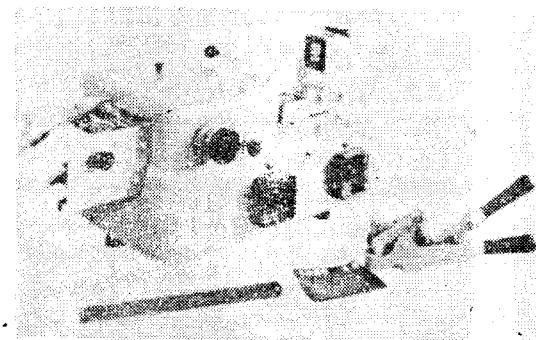


Fig.18. Wallace-Shawbury Curometer Mk. V

Payne¹⁷⁾은 이 裝置의 操作과 Pinfold¹⁸⁾가 發表한 바 있는 方法을 使用하여 結果를 分析하는 方法에 關하여 가장 理解하기 쉬운 研究結果를 發表한 바 있다. Robinson 과 Pinfold¹⁹⁾도 非轉換系에 對한 一次反應 速度定數를 求하는 方法에 關한 研究를 했다. 다음에 나오는 것은 數學的인 適用技術에 對해 간단히 概觀해본 것인데 여기서 係數는 network에 導入된 架橋數에 比例하는 것이라고 假定한 것이다. 式(10)은 Pinfold¹⁸⁾가 誘導한 것으로 다음과 같다.

$$G = \left(\frac{b}{a} - 1 \right) \quad (10)$$

G =剪斷應力率

b =定數

a =curometer에 依한 圖形의 幅

만일 G_∞ 을 形成될 全架橋數에 比例하는 factor라고 한다면 $G_\infty - G$ 는 어떤 段階에 가서 附加될 數에 比例하게 된다. 一次反應은 다음과 같이 假定할 수 있다.

$$G_\infty - G = G_\infty e^{-bt} \quad (11)$$

式 (11)을 Pinfold 式에 代入하면

$$\left(\frac{1}{a_\infty} - \frac{1}{a} \right) = \left(\frac{1}{a_\infty} + \frac{1}{b} \right) e^{-bt} \quad (12)$$

가 되는데 a_∞ 는 圖形에서 가장 가까이 接近하여 있는 距離를 나타낸다. 定數 b 는 彈性剪斷應力率이 0 일 때의 圖形의 幅이 된다. b 에 對해 圖形의 最大 分離部分인 a_0 를 取할 경우에는 粘度에 對해 實驗補正을 해야 하는데 이것은 實驗結果에 依해서도 妥當性이 判定이 된다. 그러므로 式 (13)을 時間에 對해 plot 하면 直線이 되어야 한다.

$$\log(a_\infty^{-1} - a^{-1}) / (a_\infty^{-1} - a_0^{-1}) \quad (13)$$

實際로 初期段階(scorch 段階)를 除外하고서는 架橋形成速度는 一次速度라는 것이 妥當함이 確認되었다¹⁷⁾. Fig.19는 圖形을 擴大시킨 것으로 上述한 바 있는 内容을 例證하는 것이다.

Curometer에는 透明한 型板이 있어서 圖形幅의 數值에 對한 逆數를 求하는데 使用된다.

比率(13)을 對數그라프지에다 plot 하면 直線이 되는데 比率이 0.1 및 0.5인 數值에서는 각각 加黃(架橋)이 90% 일때와 95% 일때의 時間이 된다(第7卷 第2號의 Fig.1 參照). 첫번째의 數值은 Scott의 評價基準方法²⁰⁾을 使用하여 NR 加黃物과 같은 경우에 對해 stress-strain data를 가지고서 適正加黃에 對한 正常의 評價를 한 것과 서로 關係가 있다. 型板을 使用하지 않아서도 다음과 같은 方法에 依해 類似한 結果를 얻을 수 있다. 即,

1) 直接 測定하여 逆數를 計算한 후 上述한 바와 같이 하는 方法과

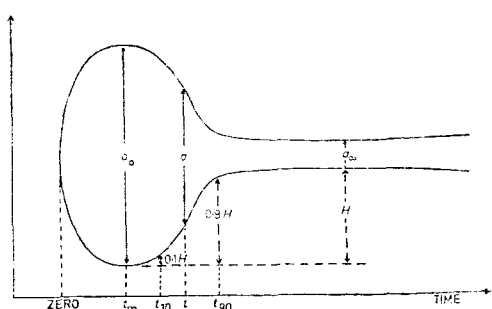


Fig.19. Curometer trace.

2) Juve의 “迅速實驗法^{17,20}”을 사용하는 方法을 使用할 수 있는데 이것은 Mooney test에 依하여 加黃時間 을 計算하는데 使用되는 式과 비슷한 式을 使用하지만 단 加黃範圍까지 미치는 測定值은 除外한다.

圖形의 折半이 最大와 最少變位, 即 $0.1(a_0-a_\infty)/2$ 에서의 t_{10} 과 $0.9(a_0-a_\infty)/2$ 에서의 t_{90} 사이의 距離인 點 0.1 과 點 0.9에 到達할 때의 時間이 記錄된다. 다시 말하면 軸에 平行하게 새로운 基準線을 그어 圖形에서 t_m 과 $H=(a_0-a_\infty)/2$ 을 지나게 하면 t_{10} 과 t_{90} 은 새 基準線 위의 $0.1H$ 와 $0.9H$ 에서 각各 나타나게 된다. 95%에 가까운 架橋形成이 되는 時間은 다음과 같은 式으로 주어진다.

$$t_j = t_{10} + 4(t_{90} - t_{10}) \quad (14)$$

Hickman, norman 및 Payne²² 等은 curometer에 依한 圖形解釋에 對해 具體的인 研究를 하였는데 이들에 依하면 對數直線에 對해 逆外挿法을 使用하면 scorch time을 가장 良好하게 計算할 수 있다고 한다. Hilk¹³가 이 方法에 依하여 計算한 數値는 15% 架橋時에 잘一致하였지만 近來의 研究結果에 比해 보면 加黃初期를 適切하게 判斷한 것은 아니다. 그러나 Mooney scorch를 一般的의見地에서 判斷한다고 할 때 Hills¹³와 Hickman²²의 研究結果와 良好하게 一致하지만 後者の 경우에 있어서 熱的遲滯에 對해 mooney 時間을 補正하지도 않고 直接的으로 比較해본 것이다.

또한 Hickman, Norman 및 Payne²² 等도 curometer를 使用하여 얻은 data를 가지고 加黃時間 을 計算하여 檢討를 해 본 結果 一般的으로 式 (14)에서의 t_j 는 a_0/a_∞ 의 比率에 따라 $t_{90\%}$ 와 $t_{95\%}$ 사이에 存在하며, Mooney test를 利用하여 計算한 加黃時間은 一般的으로 $t_{90\%}$

보다 짧고 때에 따라서는 이 보다 더 짧을 때가 있다는 것을 알았다. Hills¹³에 依하면 Rheometer를 使用할 경우에도 이와 비슷한 現象이 있다고 했다.

Monsanto Oscillating-Disk Rheometer

이 Rheometer도 Mooney 機에 基礎를 둔 機器中の 하나인데 Rheometer의 경우에는 cavity가 正方形으로 되어 있고 이 속에 圓柱形이라기 보다 雙圓錐形의 rotor가 들어 있는데 Mooney 機의 경우와 같이 連續的인剪斷作用을 하는 代身 rotor가 振動하게 되어 있다.

振動角度는 여러가지로 變化시킬 수 있으며 (1° , 3° , 5° arc) 振動速度도 두가지 (3 cpm 과 900 cpm)가 있어서 Rheometer model과 適正溫度一配合條件에 따라 使用할 수 있다. 試料의 振動 disk에 對한 抵抗이 負荷 cell을 通하여 記錄 system에 傳達된다.

Curometer에서처럼 全加黃 cycle이 圖式的으로 記錄이 되다. 本節에서 記述하고자 하는 것은 LSD型(高速, 連續記錄)에 對한 것이며 Rheometer에 依한 그라프는 Fig.20과 같고 여기에 使用된 詞語는 다음과 같다.

- 1) 架橋開始前의 最小 torque: T_{\min}
- 2) 加黃試片의 最大 torque: T_{\max}
- 3) T_{\min} 보다 2單位 上昇한 torque: $T_{\min}+2$
- 4) scorch time
- 5) 最大 및 最小 torque 와의 差: $T_{\max}-T_{\min}$
- 6) torque 差의 95%: $0.95(T_{\max}-T_{\min})$
- 7) 95% 加黃
- 8) 最高上昇點後의 0.98($T_{\max}-T_{\min}$)
- 9) T_{\max} 經過後의 98% T_{\max} 에 到達하는 reverion time

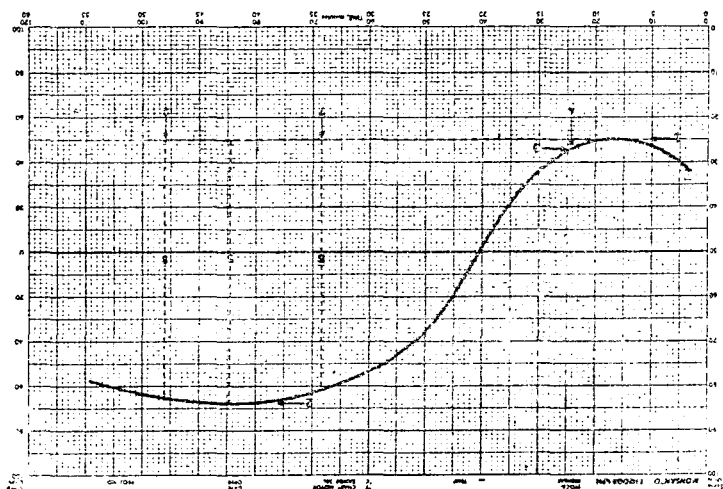


Fig. 20. Rheometer trace.

表 14 Rheometer에 미치는 影響(NBR Stock, ISAF Black 3 部門)

Mode	T_{\max}				T_{\min}			
	100(5°)	900	100(3°)	10	100(5°)	900	100(3°)	10
ISAF 25	49.0	39.0	34.6	32.7	7.0	12.9	5.0	3.3
ISAF 50	63.0	53.0	48.2	46.8	10.1	18.5	8.5	6.5
ISAF 75	84.5	69.6	65.3	66.0	18.1	27.0	14.7	14.0
Scorch($T_{\min} + 2$)					95% Cure			
Mode	100(5°)	900	100(3°)	10	100(5°)	900	100(3°)	10
ISAF 25	2.82	3.28	3.65	4.72	5.84	7.16	8.00	10.78
ISAF 50	2.21	2.43	2.75	3.41	5.28	6.25	7.38	10.06
ISAF 75	1.75	1.97	2.20	2.66	4.60	5.12	6.62	8.75

여기서 3)과 6)이 가장 많이 舉論된다. 一定한 基準이 確立되어 있지 않을 경우 Rheometer에서 나온 data를 選擇하는 것은 各自 任意에 따른다. 特殊한 Rheometer를 使用할 경우 操作方式에 따라 上記한 여러 特性에 關한 數值가 影響을 받게 된다. 이 點을 說明하기 為해 ISAF Black 配合量이 各己 相異한 세 가지 NBR配合物에 對해 4 가지 試驗을 行할 경우에 對해 考察해 보기로 한다²³⁾.

使用된 Rheometer는 첫번째의 것은 model MP로서 振動速度는 900, 100 및 10 cpm이고 振動角度는 모두 3°arc로 하였고, 그 다음 것은 Model 100 인데 100cpm과 5°arc로 하여 試驗을 하였으며 最大 torque, 最小 torque, $T_{\min} + 2$ (100 range에 對해) 및 95% 加黃에 미치는 影響은 表 14에 있는 바와 같다.

漸次로 分明히 알 수 있는 것은 條件을 여러 가지로 달리 하여 試驗을 한 結果同一配合이라도 結果는 各樣各色이라는 것이다. 文獻²³⁾에 나와 있는 세 가지 配合에 對한 試驗結果를 보아도同一한 傾向임을 알 수 있다. 이 理由에 對해서 試驗條件를同一하게 하지 않았다면 Rheometer test는 比較해본 것에 지나지 않기 때문이다.

앞서도 言及한 바 있지만 本節에서 보다 더 具體的인 것은 LSD model의 操作速度가 900 cpm이라는 것과 關係가 있다. Scorch time과 Rheometer를 聯關시켜 考慮해 볼 때 報告¹⁴⁾에 依하면 試片(Mooney試片과 比較한)의 幾何學的인 形狀으로 因해 scorch가 rotor의 中央에서 먼저 일어난 후 外部로 漸次의으로 移行하여 그 라프가 “徐徐히” 上昇하여야 한다는 것이다.

中央部分에서 傳達된 torque가 작기 때문에 最小點에서 curve가 두드러지게 빨리 離脫하지는 않고 900cpm에서 試驗할 경우라도 譜熱現象이 高溫帶를 平衡시키는 傾向이 있는 것이다. 热的平衡이 되고 나면 高溫帶는 없어지고 Rheometer는 Mooney 機와 같은 程度로 感度가同一하게 된다.

Hilk¹³⁾의 研究結果에 依하면 Mooney 機와 Rheometer를 使用하여 가장 類似한 scorch time이 된 것은 Rheometer에 있어서 50 range에서 4 單位增加할 경우이었는데 이것은 거의 15% 架橋에 該當한 것이라는 것을 나타낸 것이다.

Mooney 機에서 最小粘度가 나타나는 最終時間은 scorch time 以前의 $1.68t_{\text{sc}}^{130}$ 이라는 것이 把握되었으므로 Rheometer에 對한 scorch time 計算式이 다음과 같이 誘導되었고 式(15)에서는 t_m 은 兩機器에 對해同一하며 그 외에 t_c (Mooney)와 $t_{95\%}$ (Rheometer)도同一하다고 假定한 것이다.

$$t_s = t_m + 0.144(t_{95\%} - t_m) \quad (15)$$

高溫에서의 Rheometer test를 생각해 볼 때, 다시 말하자면 热的平衡이 되기 前에 scorch가 發生한다면 最小 torque 單位의 increase는 式(15)에서의 t_c 에 該當되며 試驗溫度가 上昇할수록 작아지게 된다¹⁴⁾. 最大 및 最小 torque 사이의 差는 温度가 올라 갈수록減少한다는事實은 이러한 影響의 한 原因이 되지만勿論上昇速度가 緩慢해지는 主原因으로서는 첫째로는 高溫帶의 影響이며 두째로는 高速度로 热的破壞가 일어나서 最小 torque가 部分的으로 補充이 되기 때문이다.

Hilk¹⁴⁾에 依하면 低溫에서 數值 4(50range에 對한)는 t_s 에 該當하는 Rheometer 單位의 increase分에 對한合理的인 數라고 한다. 그러나 式(8)을 誘導하게 된當時의 見地에서 보면 100range에서 1 單位 increase시키거나 50range에서 2 單位 increase시키는 것이 最終 scorch time을 “絕對的”(勿論 热的遲滯에 對해 全般的인 補正을 해 줄 餘地는 있지만)이라고 生覺할 수 있는 “低溫”에서와 高溫에 있어서 比較試驗을 하여 scorch time을 가장 良好하게 判定하는 것이 된다.

Rheometer에서 얻은 data를 가지고 加黃時間을 計算할 때 百分率로 나타내는데 普通 總架橋에 對해 90乃至 95%가 된다. 表 15에 나와 있는 data는 Mooney 加黃時間과 이에 該當되는 架橋率(百分率)을 Rheometer

表 15 Mooney 와 Rheometer 의 加黃時間의 比較

Rheometer, % 加黃	<65	60~70	70~75	75~80	80~85	85~90	90~95	95~100
Mooney 結果에 對한 %	4	7	4	11	11	13	15	15

平均=86.3% 架橋

의 경우와 比較해 놓은 것이다.

表에서도 알 수 있다 심이 가장 典型的인 結果는 95% 附近이며 反面에 平均은 90%에 가깝다. 이상의 結果들은 어느 하나도 热的 遲滯에 對해 補正이 되지 않음 것이며, 热的 遲滯가 Rheometer의 경우에 약간 크다는 事實에서 볼때 %-加黃值는 實際로 記錄值보다 약간 높아야 한다.

數值가 매우 높게(99%까지) 나온것이나 매우 낮게(39%까지) 나온 것은 大多數가 該當 配合物이 非理想的의기 때문이다. 이것은 一定한 基準이 確立되어 있지 않을 경우에 있어서 特殊 配合物에 對한 實際의加黃과 比較하여 다른 數值가 나오지 않았다면 $t_{95\%}$ 를 加黃時間의 基準으로 指定해도 된다는 것을 말한다. 热的 遲滯가 scorch 와 加黃時間에 미치는 影響을 本章에서 記述하겠다.

其他機器

一般的으로 機器 操作方式이 Curometer 나 Rheometer 와 類似한 여러가지 다른 機器가 設計製作되었다. 本節에서는 Goodrich-Scott Viscometer²⁴⁾, Cepar Apparatus²⁵⁾, 및 Agfa Vulkameter²⁶⁾에 關해 記述한다.

가. Viscrometer

이 機器는 Mooney 機를 直接 改良한 것인데 圓柱形或是 雙圓錐形의 rotor 가 cavity 속에 들어 있어서 고무試片內에서 작은 振動角度를 이루며 周波數 2min^{-1} 에서 振動을 할 때 所要 torque 를 測定하게 되어 있다. Torque(剪斷率)對 時間에 對한 그라프를 全 加黃範圍에 걸쳐 水할 수 있다.

餘他 Curometer에 適用되는 原理는 類似하지만 이 機器는 以前에 나온 여러가지 型式의 機器에 比해 몇 가지 長點이 있는데 그 中에는 加黃試片內에 多孔質이 形成되지 않는다는 조그만 變形을 받으므로 해서 thixotropy 같은 複雜스런 流動作用을 避할 수 있다는 等이 包含되어 있다.

文獻²⁴⁾을 보면 이 機器에 依한 試驗結果와 Mooney (粘度)機와 其他 機器(加黃時間)에 依한 試驗結果사이의 相互關係가 나타나 있다.

나. Cepar Apparatus

이 機器內部에는 indentor 가 있어서 이것을 試片 속으로 一定한 荷重을 주어 들어가게 하는데 規則的인 間

隔을 두고서 荷重을 준다. 浸透程度는 加黃時間에 對한 函数로서 圖式的으로 記錄된다. 그 위에 全 加黃(및 過加黃) cycle 이 잇따르게 된다.

다. Agfa Vulkameter

操作方式은 Curometer 와 類似한데 조그맣고 둥근 두 개의 고무를 可動 paddle의 양쪽에다 裝置하게 되어 있다. 그러나 이 機器에 對한 機構는 嚴格히 말하자면 機械的인 것이 아니다.

往復工程은 一定하며 所要되는 force 는 時間에 對한 函数로서 記錄된다.

이렇게 되면 剪斷變形率을 測定하게 되며 初期에 나온 Curometer에서와 같이 試片은 加黃途中에 一定位置에 制限되지 않으며 氣孔이 生成되기 때문에 不確實하지만 記錄된 剪斷變形率이 正確하게 된다. 그라프의 모양은 Rheometer의 것과 類似하다.

流動性이나 加黃變數에 對한 모든 動的인 測定은 加黃途中의 고무試片에 strain 이 미치는 影響도 包含되어 記錄된다.前述한 機器들 以外에 Toyo Seiki Rheometer²⁷⁾ 라든지 Ueshima Vulcograph²⁸⁾를 包含한 여러 가지가 市販되고 있는 反面에 Curometer의 加黃用部分品이 Instron 試驗機 附着되어 있어서 加黃試驗도 할 수 있다.

各種 機器의 比較

連續의로 加黃狀態를 測定할 目的으로 設計製作된 數多한 各種 機器를 比較해 보려면 技術의 면에서도 經濟的인 面의 兩쪽에 관계된 모든 factor에 對해 評價해 볼 必要가 있다.前述한 바 있는 몇 가지 機器가 여러 가지 model로 나와 있다는 事實은 比較를 하는데 있어서 複雜性을相當히 補고 있다.

주어진 裝置를 選擇할 때는 價格만 가지고서 決定해 도 좋은데 高度의 精密性이 있는 機器의 경우에는 그 價格이 單純한 形態의 것에 比해 約 10倍나 된다. 試驗의 屬性과 範圍는 別個의 特徵으로서 重要性이 認知되는 바이나 反面에 試驗速度, 操作의 容易性 및 感度는 考慮해 두어야 할 必要가 있는 追加의인 세 가지 要素이다.

試片의 크기는 材質의 價格이라는 見地에서 볼때 重要性이 無視되지만 그럼에도 不拘하고 實際의 面에서 考慮가 되어야 한다. 그 理由로서는 조그맣고 둥근 고무를 Curometer, Vulkameter 및 Vulcograph 等에 使用

할 경우에 있어서 热的 遲滯는 何等의 影響을 주지 못하기 때문에 scorch 와 加黃時間을 絶對的인 것이라고 看做할 수 있기 때문이다.

試片의 크기가 큰 것을 Mooney 試驗機, Rheometer 및 Viscometer 等에 使用할 경우에는 補正을 해 주어야 하는데 만일 配合物의 該當 試驗條件下에서의 热的 性質이 把握되어 있지 않으면 이 補正을 하기가 어려워 진다.

試片內의 傳熱

Mooney 試驗機은 큰 試片의 試驗에 가장 廣範圍하게 使用되는 機器인데 이것을 使用하여 試片內의 傳熱 效果를 說明할 수 있다. 擴大 Mooney 試驗은 臨界加黃時間에서同一裝置를 使用하여 加黃되는 配合物들을比較해 보는데 理想적으로 사용된다.

이러한 比較를 하는데 있어서 比較의 크기가 큰 試片을 加熱하는데 對한 어떠한 補正도 대체적으로 無視되는데 그 理由로서는 該當 配合物이 配合劑의 量이나 配合樣式이 廣範圍하게 變하지 않는다면, 即熱擴散度의 差異가 크지 않다면 補正程度는 同一하게 되기 때문이다. 이러한 热的 遲滯現象이 重要性을 가지게 되는 경우는 다음과 같다.

1) Scorch time이나 加黃時間이 廣範하게 變할 때, 이 경우에는 試驗時間이 短縮될수록 遲滯現象은 그 比重이 크지게 된다.

2) 同一 機器이지만 그 model이 각각 다른 것을 使用하여 加熱方式을 여러가지로 달리하든지 또는 다른 型式의 두가지 機器를 使用하여 比較를 行할 경우.

Mooney 試驗機의 경우 遲滯時間은一般的으로 平均 热擴散度를 가진 配合物에 對해서는 2乃至 3分程度가 된다. 例를 들자면 clay 50部 添加된 NR 配合物은 Viscometer 中에서 5分後에 試驗溫度에 接近하였는데 이 時間동안 試片은 그 溫度에서 3分에 該當되는 加熱을 받았으므로 이 配合物에 對한 遲滯時間은 2分이었다.

表 16 을 보면 Mooney 試驗에 있어서概略的인 热的 遲滯時間を迅速히 把握할 수 있는데 여기에 나온 數值들은 一般配合에 對한 數值¹²⁾이다.

여기에 같이 나와 있는 數值들은 Rheometer에 對한 結果이며¹³⁾ 溫度係數 2.0을 使用하여 計算한 것이다.

表 16 Mooney 및 Rheometer 試片內의 傳熱遲滯時間

T	1	2	3	4	5	6	7	8	9	10
E_m	0.2	0.5	1.1	1.7	2.4	3.2	4.1	5.0	6.0	7.0
E_r	0.04	0.11	0.3	0.7	1.3	2.0	2.7	3.5	4.5	5.5

T=經過時間, 分

E_m =試驗溫度에서의 有効時間(Mooney의 경우)

E_r =試驗溫度에서의 有効時間(Rheometer의 경우)

여기에 關해서는 後述할 “加黃溫度係數”에 가서 詳細하게 言及하겠다.

試驗溫度

一般的으로 試驗溫度를 指할 때는 配合物의 性質, 記錄할 資料의 形式에 適合하게 해야하고 特別한 경우에는 test cycle을 最短時間內에 便利하게 垒 할 수 있도록 해야 한다. 特定性質을 把握해야 할 溫度에서 試驗을 行하기보다는 其他 溫度에서 試驗을 할 때에는 特히 注意를 해야 한다.

例를 들자면 scorch time이 同一한 加黃(時間)%를維持하지 않거나 이와는 달리 一定한 加黃溫度係數를維持하지 않게 되는 경우가 있다. 前者에 依해 典形의으로 나타나는 影響은 몇 가지 retarder를 使用할 때 인데 이것들은 低溫에서 scorch time을 理想적으로 增加시켜 주기는 하지만 보다 高溫에서는 分解로 因하여 最終加黃에 아무런 뚜렷한 影響을 미치지 않는다.

이러한 條件下에서 高溫에서의 retarder에 對한 試驗이나 判斷은 實際의으로 重要性을 갖는 結果를 주지 않는다. 이러한 結果를 說明하기 为해一般的으로 使用되고 있는 retarder인 N-nitroso diphenylamine을 각각 0.125 部와 1部를 添加한 配合物을 Rheometer 試驗을 했을 때의 結果에 對해 살펴 보기로 한다.

試驗溫度는 120°C(準備加工溫度), 160°C(加黃溫度) 및 200°C(試驗溫度)이다. 100range에서 4單位增加分에 對한 時間으로 나타 낸 scorch time과 95% 加黃에 對한 結果는 表 17에 나와 있다.

表에서도 알 수 있는 바와 같이 retarder를 添加하면 scorch time은 120°C에서 눈에 될 만큼 길지만 200°C에 가서는 實質의으로 同一하다는 것이다. 160°C에서는 retarder를 많이 添加한 것이 添加하지 않는 것에 比해 scorch time을 增加시키고 있다.

表 17 試驗溫度가 Retarder 添加에 미치는 影響

溫度, °C	Retarder 添加 없음			0.125 部			1 部		
	120	160	200	120	160	200	120	160	200
Scorch time	13.4	3.48	1.56	1.56	3.47	1.57	1.54	3.80	1.58
加黃時間	38.0	6.88	2.73	41.0	64.7	2.68	40.5	7.26	2.78

그러므로 160°C 가 最終的이 고도 基本的인 加黃溫度라면 이 溫度에서 試驗을 行하여 加黃時間에 미치는 影響을 把握해 보아야 하며 아울러 加工上의 安全性을 檢討하기 為해서 120°C (或은 必要한 다른 溫度)에서 試驗도 해 보아야만 한다. 表 17에 있는 data가 뜻하는 것은 “加黃試驗은 加黃溫度에서만 有効하며 scorch time은 準備加工溫度에서만 有効하다”는 것을 잘 나타내고 있다.

加黃時間에 對해 考慮해 볼것 같으면 高溫에서의 試驗은 가) 热擴散度가 각각 相異하거나, 나) 加黃溫度係數가 각각 相異한 配合物을 高溫 或은 低溫에서의 基本作業에 對해 check 해 본다는 假定은 成立되기가 어렵다.

表 18 相異한 溫度에서의 Scorch time과 加黃時間

配合物	加黃時間(95%)			Scorch-time(t_1)		
	G	E	B	G	E	B
150°C	26.8	10.2	9.2	4.50	4.35	3.80
200°C	2.7	2.95	2.75	1.25	1.45	1.40

表 18은 以上과 같은 內容을 包含하고 있는 것으로¹⁴⁾ 表를 보면 이 點을 迅速하고 明確히 說明할 수가 있다

熱擴散度가 각각 $0.015, 0.008$, 및 $0.008\text{in}^2 \cdot \text{min}^{-1}$ 인 配合物 G, E 및 B에 對해 150°C 와 200°C 에서 試驗을 하여 scorch time과 加黃時間에 關한 data를 얻은 것이다. 配合物 G는 200°C 에서는 E나 B보다 加黃이 빨리 되는 것 같지만 150°C 에서는 決定的으로 늦다. 이 理由는 高度의 热擴散度, Mooney 試驗에서 證明된 바 있는 非理想的인 舉動 및 比較的 높은 加黃溫度係數等이 複合되어 存在하기 때문이다.

加黃溫度係數

이 用語는 고무工學에서 가장 많이 使用되지만濫用되고 있는 factor 中의 하나이다. 각 10°C 에 對해 2.0이라는 數值을 典形的으로 흔히들 使用하고 있으며 주 먹구式으로 使用하고는 있지만 너무 無節制하게 使用하거나 廣範圍한 溫度에 걸쳐 使用하면 큰 모순이 생긴다. 現在까지 理論的으로나 實驗的으로 알려진 바에 依하면 加黃反應은 絶對溫度의 逆數의 函數인 速度로進行한다고 한다. 이것을 基礎的인 Arrhenius 式으로 表示하면 다음과 같다.

$$k = S e^{-E/RT} \quad (16)$$

k =反應速度定數

S =比例定數

E =活性化 energy

R =氣體定數

T =絕對溫度

E 는 普通 kcal/mole로 나타내여지며 加黃反應論의 目的에 合當하게 “절보기 活性化 enregy”라고도 부르는 데, 그 理由는 여러가지 反應中에서 어느것이 速度를 制限하는 反應인지 確實하지 않기 때문이다.

式 (16)을 常用對數를 取하여 變換시키면

$$\log k = \frac{-E}{2.303RT} + \log S \quad (17)$$

$\log k$ 對 絶對溫度의 逆數를 plot하면 直線이 되는데 이 直線으로부터 기울기 E 를 求할 수 있다. 두 溫度에 對한 反應速度가 既知이면 E 值를 다음 式에서 計算할 수 있다.

$$E = \frac{4.576 T_1 T_2}{(T_2 - T_1)} \log \frac{k_2}{k_1} \quad (18)$$

T_1, T_2 =絕對溫度

이 式을 使用하는 方法에 對해 說明을 하자면 $T_1=433^{\circ}\text{K}(160^{\circ}\text{C})$, $T_2=443^{\circ}\text{K}(170^{\circ}\text{C})$ 이고 k_2/k_1 의 比가 2.0인 경우를 例로 들어 이 數值들을 式 (18)에 代入하여 풀면 活性化 energy는 26.4 kcal가 된다.

Polymer 種類, 加黃系 및 其他 添加劑의 作用에 따라 活性化 energy는 19kcal乃至 36kcal가 된다고 한다²¹⁾. 活性化 energy를 計算하는 方法은 單試片을 使用하는 Curometer를 包含하여 여러가지가 있으나 이들 方法을 使用하면 热的 遲滯에 對해 補正을 해야 하기 때문에 普通 몇 가지 假定을 세워둘 必要가 있다. Curometer, Vulkameter 및 Vulcograph와 같은 小型試片을 使用하는 機器는 이 目的에 理想的으로 適合하다.

Fig.21은 一定 溫度範圍에서 行한 Curometer 試驗의 結果를 plot한 것인데 80%, 85%, 90% 및 95% 架橋에 所要되는 時間은 絶對溫度의 逆數에 對해 plot한 것이다. 나타난 結果를 보면 活性化 energy는 約 23 kcal程度가 된다. 이에 앞서 Juve²²⁾는 어떤 溫度에서의 값이 既知이라고 하더라도 廣範圍한 溫度에 걸쳐 加黃溫度係數(TC)에 對한 한 개의 그라프를 使用할 경우에 誤差가 生긴다고 했다.

單試片을 使用하는 機器를 가지고 活性化 energy를 测定할 수는 있지만 热的 遲滯에 對한 補正을 해 줘야 하며 溫度그라프에서 이들 補正值를 導出하려면 活性化 energy나 加黃溫度係數(TC)를 假定해 둬야 한다 (Fig.15 參照). 이것은 올바른 活性化 energy를 求하자면 热的 遲滯現象을 無視할 수 있거나 이 現象이 不在하는 方法에 依存할 수밖에 없다.

前述한 바와 같이 Curometer 같은 機器들을 使用하여 Fig.21 및 Fig.22와 같은 結果를 얻을 수 있다. Fig.22에 있는 data는 Curometer를 使用하여 實際生產用 配合物에 對해 求한 것이다. Fig.22에서 活性化 energy의 값은 90% 架橋에 所要되는 時間에 따른 값으로서 17

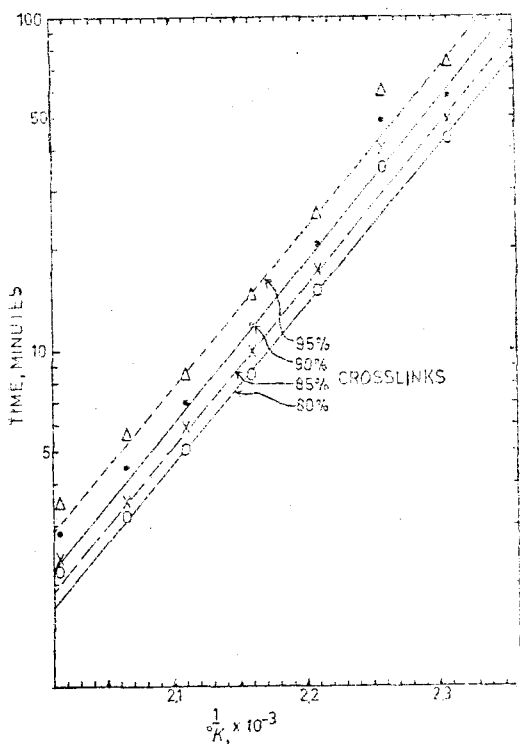


Fig. 21. Arrhenius plots from Curometer data.

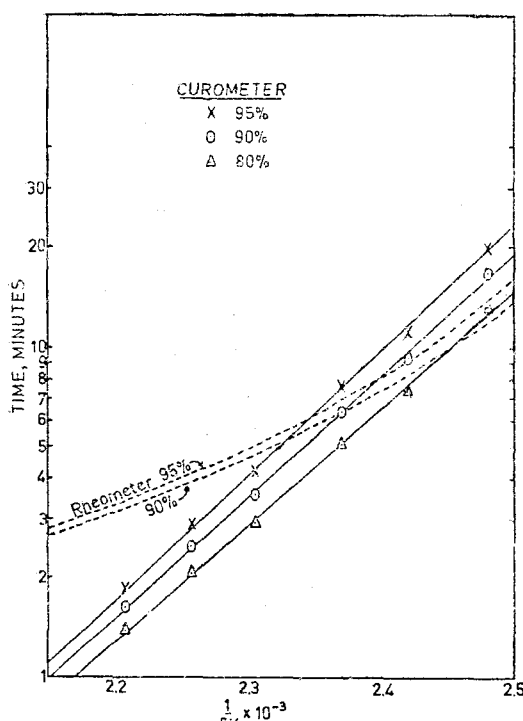


Fig. 22. Curometer data from a commercial ('test') formulation.

kcal임을 알 수 있는데 이것은 130°C 에서 $\text{TC}=1.67$ 혹은 190°C 에서 1.50에 해당되는 것이다.

直線이 헤어져 있는 것은同一配合物에對하여 Rheometer試験을 하여 얻은 90%와 95%加黃值를 나타낸 것인데 여기에는熱的遲滯에對해何等의補正도 하지 않은 것이다. Curometer와 Rheometer data를適切히使用하여直接Rheometer data에對한熱的遲滯現象을グラ프로만들수있을것. 같지단 Fig. 22에서分明히 알 수 있는 것은 이러한 경우에對하여 두 가지機器에서 얻은 90%加黃值는直接의相互關係가 있을 수 없으면 實際로는 보다低溫에서 95%에對한 Rheometer의 값은 90%에對한 Curometer 보다 낮다는 것이다.

Fig. 22의 Curometer data로부터 TC值를求하므로서 95% Rheometer 값(記錄值)을表 19와 같이補正할 수 있다. 時間이 7.5分以上인 것은 다음式으로計算한다.

表 19 热的遲滯에關한計算結果

Temperature, $^{\circ}\text{C}$	加黃溫度係數	$t_{95\%}$ 記錄值	$t_{95\%}$ 補正值
130	1.67	13.6	11.46
135	1.655	11.1	8.74
140	1.64	9.1	6.86
145	1.63	7.6	5.28
150	1.615	6.6	4.18
155	1.60	5.83	3.24
160	1.585	5.20	2.59
165	1.57	4.64	2.03
170	1.555	4.20	1.63
175	1.545	3.80	1.29
180	1.53	3.42	1.05
185	1.515	3.10	0.84
190	1.50	2.82	0.69
195	—	2.59	0.55
200	—	2.42	0.46

※該當溫度 사이에서의範圍에對한것이며 10°C 높음.

$$tr-x=TC(tr_{-10}-x) \quad (19)$$

tr =溫度 T 에서의 95%加黃時間

tr_{-10} =溫度 $(T-10)$ 에서의 95%加黃

TC =該當溫度範圍에對한特定值

x =熱平衡以後의一定遲滯時間

x 에對한두개의값을求하여平均을내며餘他時間에對해서도마찬가지方法으로處理하여求한것이表 19에나와있는data이다.

該當配合物의熱擴散度가約 $0.008\text{in}^2\cdot\text{min}^{-1}$ 이므로그라프로그린후表로만들어보니(表 20)그結果는豫測한바와같은順序로되어있다.

表 20 Rheometer 에서의 熱的 遲滯現象

 $(D=0.008 \text{in}^2 \cdot \text{min}^{-1}, E=17 \text{kcal})$

T	1	2	3	4	5	6	7	8	9	10
E	0.05	0.3	0.8	1.5	2.4	3.5	4.5	5.6	6.6	7.6

T=經過時間, 分

E=該當時間, 分

고무 network에 對한 架橋度는 흔히 平衡膨潤測定法을 使用하여 구하는데, .나타난 結果는 Flory 와 Rehner^{30,31)}의 理論에 따르고 있다. Scheele³²⁾에 依하면 膨潤 或은 modulus 测定值를 加黃時間의 逆數에 對해 plot 하면 加黃反應速度를 決定할 수 있다고 하였는데 이 方法을 使用하면 加黃狀態의 测定은 勿論이거니와 活性化 energy E 나 加黃溫度係數(TC)도 求할 수 있다.

微視膨潤技法이 漸次普及되고 있으며 最近 Davison³³⁾ 및 Fletcher³⁴⁾等이 여기에 關한 研究結果를 報告한 바 있다. 이보다 앞서 Gardner 와 James^{35,36)}가 準微視膨潤에 關해 討論한 바가 있으며 마찬가지로 Loan³⁷⁾은 遊離硫黃測定法 같은 化學試驗方法과 아울러 compression modulus 를 利用하여 加黃反應에 對한 計算을 研究한 바도 있다. Smith³⁸⁾가 膨潤된 加黃物의 compression modulus에 關한 研究를 했는데 이것에 緣由하여 Wallace Smith Reticulometer 를 導入하게 된 것이다.

文 獻

1. Mooney, M., Ind. Eng. Chem., 6(2), 147(1934).
2. More, A. R., Morrell, S.H., and Payne, A.R., Rubb. J. Int. Plast., 136, 858(1959).
3. Decker, G.E., Wise, R.W., and Guerry, D.(J.), Rubb. Wld., 147, 71(1962).
4. Weaver, J.V., Rubb. Chem. Jech., 14(2), 458 (1941).
5. Shearer, R. Juve, A.E., and Musch, J.H., India Rubb. Wld., 117(2), 216(1947) and correction 117 (4), 491(1948).
6. Chalmers, D., India Rubb. Wld., 121(1), 51(1949)
7. BS 1673 : Part 3 : 1951.
8. ASTM D1646-67.
9. ISO R-667-1968.
10. Juve, A.E., Rubb. Wld., 140, 705(1959).
11. Hills, D.A., Rubb. Plast. Wkly., 144, 384(1963).
12. Hills, D.A., Rubb. J., 147(6), 30(1965).

13. Hills, D. A., Rubb. J., 148, (8), 70(1966).
14. Hills, D.A. Rubb. J., 150(9), 261(1968).
15. Whitby, G.S., Synthetic Rubber, John Wiley & Sons In., New York, p. 428(1951).
16. Hills, D.A., "Member-to-Member", RAPRA, 1(6), 79(1962).
17. Payne, A.R., Rubb. Plast. Wkly., 144, 293(1963).
18. Pinfold, R.N.F., Trans. IRI., 37, 206(1961).
19. Robinson, R.W., and Pinfold, R.N.F., Trans. IRI., 39, 26(1963).
20. Scott, J.R., Trans. IRI., 15, 229(1939).
21. Juve, A.E., Chapter 2, Vulcanization of Elastomers, Ed. G.Alliger and I.J.Sjathun, Reinhold Publishing Corp., New York(1964).
22. Hickman, J., R.H., and Payne, A.R., RAPRA Research Report No.135(1964).
23. "The Monsanto Oscillating-Disc Rheometer Applications Guide," Monsanto Technical Bulletin 23A/1. London(1967).
24. Juve, A.E., Karper, P.W., Schroyer, L.O., and Veith, A.G., Paper presented at the Fall Meeting of Division of Rubber Chemistry of ACS, 1963. Abstract in Rubb. Age, 93, 890(1963).
25. Claxton, W.E., US Patent 2,904,904(1958); Conant, F.S., and Claxton, W.E., Rubb. Wld., 143, 71(1960); Claxton, W.E., Conant, F.S. and Liska, J.W., Rubb. Wld., 144, 71(1961).
26. Peters, J., and Heidemann, W., Kaut. u. Gummi, 11WT, 159(1958).
27. Manufactured by Toyo Seiki Seisaku-Sho Ltd., Jokyo.
28. Manufactured by Ueshima Seisakusho, Tokyo,
29. Rowley, A.C., "Intron Studies of Vulcanization," Instron Application Series R5, London(1965).
30. Flory, P., J. Chem. Phys., 18, 108(1950).
31. Flory, P., and Rehner, J., J. Chem. Phys., 11, 521(1943).
32. Scheele, W., Rubb. Chem. Tech., 34, 1306(1961).
33. Davison, S., Rubb. Age, 100(11), 76(1968).
34. Fletcher, W., RAPRA Research Report 171 (Appendix), (1968).
35. Gardner, J., RAPRA Bulletin, p.134, Sep. Oct. (1962).
36. Gardner, J.C., and James, D.I., Rubb. J., 164(12), p.22(1964); RAPRA Research Report 141(1965).
37. Loan, L.D., RAPRA Research Report 122(Reprinted from "Techniques of Polymer Science"), (1963)
38. Smith, D.A., J. Polym. Sci., 16, 525(1967).